



การทำบริสุทธิ์ ศึกษาคุณสมบัติและการโคลนยืนของโปรตีนจับ  
ลิโพโพลิแซคคาไรด์และเบตา-1,3-กลูแคนจากกุ้งขาว

Purification, characterization and gene cloning of lipopolysaccharide-  
and  $\beta$ -1,3-glucan-binding protein from *Litopenaeus vannamei*

โดย

รองศาสตราจารย์ ดร.ประภาพร อุثارพันธุ์

ภาควิชาชีวเคมี คณะวิทยาศาสตร์  
มหาวิทยาลัยสงขลานครินทร์

รายงานฉบับสมบูรณ์  
ที่ได้รับทุนอุดหนุนจากการบประมาณคณะวิทยาศาสตร์  
ประจำปี 2556-2557

## บทคัดย่อ

ในการศึกษานี้ โปรตีนจับลิโพโพลีแซคคาไรด์และเบตา-1,3-กัลูแคน (LGBP) ของกุ้งขาวสามารถเกิดปฏิกิริยาอย่างจำเพาะกับแคนติบอดีต่อโปรตีนลูกผสม LGBP ของกุ้งแซบวัย จากการวิเคราะห์โดย Western blot พบโปรตีน LGBP เฉพาะในสารสกัดตับของกุ้งขาว โดยไม่พบโปรตีนนี้ในอีโมลิมฟ์และอี莫ไซท์ ตั้งนั้นจึงได้ทำบริสุทธิ์ LGBP จากสารสกัดตับของกุ้งขาว โดยคอลัมน์ Q-Sepharose และตามด้วยการทำ Preparative PAGE โปรตีน LGBP บริสุทธิ์ปราศจากเพียงแถบเดียว ใน SDS-PAGE ซึ่งมีมวลโมเลกุลเป็น 40.73 kDa โปรตีน LGBP บริสุทธิ์สามารถกระตุ้นแอคทิวิตีของเอนไซม์ฟีนอลออกซิเดส์ในสารสกัดอี莫ไซท์ และการกระตุ้นเพิ่มมากขึ้นในสภาวะที่มีลิโพโพลีแซคคาไรด์ ซึ่งตีกว่า lipoteichoic acid และเบตา-1,3-กัลูแคน นอกจากนี้โปรตีน LGBP บริสุทธิ์ยังสามารถเห็นยืนหนึ่งให้แบคทีเรีย *Vibrio parahaemolyticus* เกิดการเกาะกลุ่มได้ โดยต้องการ  $\text{Ca}^{2+}$  และมีความจำเพาะต่อน้ำตาล และการจับของ LGBP บริสุทธิ์ กับแบคทีเรีย *V. parahaemolyticus* เกิดได้ในสภาวะที่มี  $\text{Ca}^{2+}$  เช่นกัน ผลการทดลองเหล่านี้บ่งชี้ว่า LGBP ของกุ้งขาวเกี่ยวกับระบบภูมิคุ้มกันผ่านการเกาะกลุ่มและการจับกับแบคทีเรีย ซึ่งนำไปสู่การกำจัดเชื้อ ก่อโรคบุกรุกต่อไป

ได้คลอนยีน LGBP จากตับของกุ้งขาวด้วยวิธี RT-PCR และ 5' RACE พบว่า cDNA สายเต็มของยีน LGBP ประกอบด้วย 1,282 คู่เบส มี 1 open reading frame ที่ยาว 1,101 คู่เบส ซึ่ง encode สายเปปไทด์ที่มีกรดอะมิโน 367 หน่วย มีมวลโมเลกุล 41.6 kDa จากการ BLAST พบ cDNA ของยีน LGBP ของกุ้งขาวเหมือนกับของกุ้งแซบวัยมากที่สุด (95%) เมื่อวิเคราะห์ด้วยวิธี RT-PCR เชิงปริมาณ พบยีน LGBP มีการแสดงออกมากในตับ พบน้อยกว่าในหัวใจและเหงือก เพื่อศึกษาการตอบสนองของยีน LGBP ต่อการเห็นยืนหนึ่งด้วยเชื้อ ก่อโรค ทำโดยบ่มชินตับกับ *V. parahaemolyticus* หรือไวรัสตัวเดงดวงขาว พบการแสดงออกของยีน LGBP ในตับเพิ่มขึ้นจนมีค่าสูงสุดที่ 2.5 - 3 ชั่วโมง หรือ 1 ชั่วโมง หลังการบ่ม ตามลำดับ ผลการทดลองเหล่านี้บ่งชี้ LGBP ถูกกระตุ้นให้เพิ่มขึ้นได้ และเกี่ยวข้องในระบบภูมิคุ้มกันของกุ้งเพื่อตอบสนองต่อจุลินทรีย์ ก่อโรค

## Abstract

In this study, lipopolysaccharide- and  $\beta$ -1,3-glucan-binding protein (LGBP) of *Litopenaeus vannamei* or white shrimp could react specifically with anti-recombinant LGBP protein of *Fenneropenaeus merguiensis* (anti-FmrLGBP) antibody. By Western blot analysis, LGBP protein was only detected in the hepatopancreas extract, none was found in the hemolymph or hemocytes. LGBP was thus purified from the hepatopancreas extract of white shrimp by chromatography on Q-Sepharose column and subsequently by preparative PAGE. Purified LGBP showed a single protein band with a molecular mass of 40.73 kDa in SDS-PAGE. It could activate phenoloxidase activity in the hemocyte lysate and its activation occurred pronouncedly in the presence of lipopolysaccharide which much better than lipoteichoic acid and  $\beta$ -1,3-glucan. Moreover, purified LGBP could induce the agglutination of *Vibrio parahaemolyticus* with a  $\text{Ca}^{2+}$ -dependent manner and sugar specificity. Besides, the binding of purified LGBP to *V. parahaemolyticus* was well occurred in the presence of  $\text{Ca}^{2+}$ . These results indicate that *L. vannamei* LGBP may contribute in the immune respond via the bacterial agglutination or direct binding and leading to further get rid of the invading pathogens.

LGBP gene was also cloned from the hepatopancreas of *L. vannamei* by means of reverse-transcription polymerase chain reaction (RT-PCR) and 5' and 3' rapid amplification of cDNA ends (RACE). The full-length cDNA of LGBP gene consisted of 1,282 bp with one 1,101 bp open reading frame, encoding 367 amino acids. The molecular mass was estimated to be 41.6 kDa. By BLAST analysis, *L. vannamei* LGBP cDNA showed close identity to that of *F. merguiensis* (95%). RT-PCR analysis revealed that LGBP transcript was expressed mainly in the hepatopancreas, less in heart and gills. To study the response of LGBP gene in pathogenic challenge, the hepatopancreas fragments were incubated with *V. parahaemolyticus* or white spot syndrome virus (WSSV). A semiquantitative RT-PCR demonstrated that the expression of LGBP increased and reached the maximum at 2.5 -3 h or 1 h post-incubation with bacterium or WSSV, respectively. Taken together, these results indicate that LGBP is up-regulated and involved in a shrimp immune response against pathogens.

## กิตติกรรมประกาศ

โครงการวิจัยเรื่อง “การทำบริสุทธิ์ ศึกษาคุณสมบัติและการคงนิยมของโปรดตินจับลิโพโพลี เชคคาโรดและเบตา-1,3-กลูแคนจากกุ้งขาว” นี้ ได้รับทุนอุดหนุนการวิจัยจากทุนงบประมาณแผ่นดิน ประจำปี 2556-2557 ผู้วิจัยขอขอบคุณศูนย์วิจัยโรคสัตว์น้ำ มหาวิทยาลัยสงขลานครินทร์ เป็นอย่างสูง ที่ได้อนุญาตให้ใช้สถานที่วางแผนน้ำทะเลเพื่อเลี้ยงกุ้งในการทดลอง และขอขอบคุณภาควิชาชีวเคมี คณะ วิทยาศาสตร์ มหาวิทยาลัยสงขลานครินทร์ ที่ได้อธิบายเครื่องมือต่าง ๆ เพื่อทำให้งานวิจัยดำเนินคล่อง ไปด้วยดี ผลงานวิจัยนี้ส่วนหนึ่งได้รับการตีพิมพ์แบบ Proceeding ในที่ประชุมทางวิชาการระดับชาติ และระดับนานาชาติแล้วและกำลังอยู่ในระหว่างการเตรียมต้นฉบับเพื่อตีพิมพ์ในวารสารระดับนานาชาติ งานวิจัยนี้ขออุทิศแด่สัตว์ทดลองทุกชีวิต

ประภาพร อุทาหรัณฐ์

## สารบัญเรื่อง

	หน้า
บทคัดย่อ	2
Abstract	3
กิตติกรรมประกาศ	4
สารบัญเรื่อง	5
สารบัญตาราง	6
สารบัญรูป	6
สัญลักษณ์และคำย่อ	7
บทนำ	8
วัตถุประสงค์	11
วิธีดำเนินการวิจัย	11
ผลการวิจัยและวิจารณ์	16
สรุปผลการวิจัย	31
เอกสารอ้างอิง	32

## สารบัญตาราง

ตารางที่		หน้า
1	Purification of LGBP from the hepatopancreas extract	19

## สารบัญรูป

รูปที่		หน้า
1	Electrophoretic protein pattern of LGBP	17
2	Protein pattern in 12% SDS-PAGE and Western blotting	17
3	Purification of LGBP from the hepatopancreas extract by Q-Sepharose column	20
4	Protein patterns at each purification step analyzed by 12% SDS-PAGE and Western blotting	20
5	Standard graph for $M_r$ determination analyzed by 12% SDS-PAGE	22
6	Bacterial agglutination by purified LGBP	25
7	Binding of purified LGBP to <i>V. parahaemolyticus</i>	27
8	Cloning strategy and structure of the full-length cDNA of LGBP gene	28
9	RT-PCR analysis of the expression of LGBP mRNA in different tissues	29
10	Expression of LGBP mRNA in the hepatopancreas fragments of <i>L. vannamei</i> at different time intervals in response to challenge with <i>V. parahaemolyticus</i> or WSSV	30

## ສັບລັກຂະນຳແລະຄໍາຢ່ອ

◦ ꝝ	= ອົງສາເຫຼດເຫື່ອສ
A	= absorbance
BG	= beta-1,3-glucan
BSA	= bovine serum albumin
CAC	= cacodylate buffer (10 mM sodium cacodylate, pH 8)
g	= gram
HEPES	= N-2-hydroxyethylpiperazine-N-ethanesulfonic acid
L-DOPA	= 3,4-dihydroxyphenyl-L-alanine
LGBP	= lipopolysaccharide-and $\beta$ -1,3-glucan-binding protein
LPS	= lipopolysaccharide
LTA	= lipoteichoic acid
M	= molar
mA	= milliampere
mg	= milligram
min	= minute
ml	= milliliter
mM	= millimolar
M <sub>r</sub>	= apparent molecular weight
ng	= nanogram
ORF	= open reading frame
PAGE	= polyacrylamide gel electrophoresis
SDS	= sodium dodecyl sulphate
TB	= Tris buffer (50 mM Tris-HCl, pH 7.5)
TBS	= Tris buffer saline (50 mM Tris-HCl, pH 7.5-0.15 M NaCl)
Tris	= Tris(hydroxymethyl)aminomethane
$\mu$ g	= microgram
$\mu$ l	= microliter

## บทนำ

การเพาะเลี้ยงกุ้งทะเลเป็นอุตสาหกรรมที่สำคัญทางเศรษฐกิจชนิดหนึ่งของประเทศไทย กุ้งทะเลเป็นกุ้งเศรษฐกิจที่สำคัญเนื่องจากเป็นที่นิยมของผู้บริโภคทั่วโลกทั้งภายในและต่างประเทศ ประเทศไทยได้มีการพัฒนาเทคนิคหรือการเพาะเลี้ยงจนสามารถเลี้ยงกุ้งในระบบหนาแน่นได้ กุ้งที่นิยมเพาะเลี้ยงในประเทศไทยในขณะนี้คือ กุ้งขาว (Pacific white shrimp, *Litopenaeus vannamei*) ซึ่งมีการนำเข้าแม่พันธุ์กุ้งขาวจากต่างประเทศ มาเพาะเลี้ยงแทนกุ้งกุลาดำ (*Penaeus momodon*) ที่มีการติดเชื้อก่อโรคจนทำให้ผลผลิตลดลงอย่างมาก ไม่คุ้มต่อการลงทุน นอกจากนี้จากการติดไวรัสบาดแล้ว การเลี้ยงกุ้งในระบบหนาแน่นมักส่งผลกระทบทำให้การเจริญเติบโตของกุ้งลดลง เกิดความเครียด อ่อนแอ และสามารถติดโรคได้ง่าย แบคทีเรียสายพันธุ์หลักที่ก่อให้เกิดโรคในกุ้งกุลาดำในประเทศไทยคือ *Vibrio species* โดยเฉพาะ *Vibrio harveyi* เมื่อกุ้งได้รับเชื้อนี้จะเกิดเป็นโรคเรืองแสงและตายในที่สุด แต่ก็ยังไม่มีรายงานการติดโรคเรืองแสงในกุ้งขาวที่เพาะเลี้ยง นอกจากนี้ยังมีไวรัสที่แพร่ระบาดโดยทำให้กุ้งเกิดโรคคือไวรัสโรคตัวแดงดวงขาว (white spot syndrome virus, WSSV) ในหลายปีแรกที่ได้มีการเพาะเลี้ยงกุ้งขาว พบว่ามีผลผลิตทำเงินให้กับประเทศไทยอย่างมากมาย แต่ขณะนี้เริ่มน้ำรายงานการเกิดโรคระบาดด้วยโรคตายต่อน (EMS, early mortality syndrome) ของกุ้งขาว ซึ่งยังอยู่ในระหว่างการทำวิจัยเพื่อหาสาเหตุที่แน่ชัด แต่รายงานเบื้องต้นพบว่ามาจากเชื้อแบคทีเรียและไวรัส ปัจจุบันโรคระบาดก่อให้เกิดความเสียหายต่ออุตสาหกรรมการเพาะเลี้ยงกุ้งเป็นอย่างมาก การศึกษาไปรษณีย์ที่มีบทบาทเกี่ยวข้องกับกลไกการป้องกันตนเองจากเชื้อก่อโรคของกุ้งจึงมีความสำคัญในการเตรียมความพร้อมต่อการเพาะเลี้ยงกุ้ง แกนการใช้ยาและสารเคมี ด้วยเหตุนี้งานวิจัยจึงได้สนใจศึกษากลไกการป้องกันตนเองของกุ้งมากขึ้นเพื่อใช้เป็นแนวทางในการป้องกันการติดเชื้อก่อโรคต่อไป

กุ้งเป็นสัตว์ไม่มีกระดูกสันหลังในกลุ่มครัสเตเชียน (crustacean) มีระบบไหลเวียนเลือดที่เรียกว่าไฮโลมฟิ (hemolymph) เป็นแบบเปิด ครัสเตเชียนไม่มีการสร้างแอนติบอดี (antibody) ต่อสิ่งแผลกลอมเหมือนสัตว์มีกระดูกสันหลังซึ่งสูง แต่มีระบบกลไกการป้องกันตนเองที่เรียกว่า innate immune system เพื่อป้องกันสิ่งแผลกลอมที่บุกรุก ระบบป้องกันตนเองของสัตว์ไม่มีกระดูกสันหลังอาศัยเซลล์และสารน้ำ ระบบอิมมูนที่อาศัยเซลล์ (cellular immunity) ประกอบด้วยการทำงานของเม็ดเลือดหรือเซลล์ไฮโมไซท์ (hemocyte) ได้แก่การกินลินกิน (phagocytosis) การเกิดโนดูล (nodule formation) และการกักล้อม (encapsulation) จุลินทรีย์ (microorganism) ที่บุกรุก เป็นต้น ระบบอิมมูนแบบสารน้ำ (humoral immunity) ประกอบด้วยโปรตีนหล่ายนิด รวมทั้งโปรตีนจำจูปแบบ (pattern recognition proteins, PRPs) (Medzhitov and Janeway, 1997) โปรตีนบางชนิดยังไม่มีการศึกษาเนื่องจากในสภาวะปกติจะมีปริมาณน้อยมากและถูกสังเคราะห์หรือหลังออกมากماขึ้นเมื่อสัตว์มีการติดเชื้อหรือถูกกระตุ้น โปรตีนเหล่านี้สัมพันธ์กับจุลินทรีย์ที่บุกรุก โดยจะจำและจับกับโมเลกุลที่เป็นองค์ประกอบของผนังเซลล์ของจุลินทรีย์ซึ่งส่วนใหญ่จะเป็นคาร์บอไฮเดรต เช่น peptidoglycan เปตา-

1,3-กลูแคน ( $\beta$ -1,3-glucan) หรือ lipopolysaccharide (LPS) PRPs ที่จับกับ LPS หรือเบตา-1,3-กลูแคนในครัสเตเชียนเรียก LPS-binding protein (LBP) และ  $\beta$ -1,3-glucan-binding protein (BGBP) ส่วนโปรตีนที่จับได้ทั้ง LPS และเบตา-1,3-กลูแคน เรียก LGBP (LPS- and  $\beta$ -1,3-glucan-binding protein) (Duvic and Söderhäll, 1990; Lee et al., 2,000) PRPs เหล่านี้ถูกกระตุ้นได้โดยการไปไอล์เดรตที่เป็นองค์ประกอบของผนังเซลล์จุลินทรีย์ เช่นเบตา-1,3-กลูแคนหรือ LPS และมีบทบาทเกี่ยวข้องในระบบป้องกันตนเองทั้งในสัตว์มีและไม่มีกระดูกสันหลัง โดยจับกับคาร์บอไอล์เดรตที่เป็นองค์ประกอบของผนังเซลล์จุลินทรีย์บุกรุก แล้วไปจับกับตัวรับบนเมมเบรน (membrane receptor) ของเซลล์ไม่ใช่ที่มีกรานูล (semigranular cell) (Davic and Söderhäll, 1990) แล้วขึ้นนำให้เกิดปฏิกิริยาต่าง ๆ ตามมา เช่นกระตุ้นให้เซลล์ไม่ใช่ที่กำจัดสิ่งแผลกปลอม โดยมีอัตราการเกิดการกลืนกินเร็วขึ้น (Thornqvist et al., 1994) หรือ มีการสลายกรานูลของเซลล์ไม่ใช่ที่ในกุ้งนาง (crayfish *Pacifastacus leniusculus*) (Barracco et al., 1991) นำไปสู่การหลังออกไซด์ prophenoloxidase activating enzyme ซึ่งไปกระตุ้นระบบโปรดีฟีนอลออกซิเดส (prophenoloxidase system) ให้สร้างเอนไซม์ฟีนอลออกซิเดส (phenoloxidase) (Aspan and Söderhäll, 1991; Johansson et al., 1995; Sritunyalucksana et al., 2001) ซึ่งเป็นเอนไซม์ในวิถีการสังเคราะห์เมلانิน (melanin) ทั้งเมลานินและสารตัวกลางในวิธีการสร้างเมلانินมีฤทธิ์ยับยั้งการเจริญของจุลินทรีย์ที่บุกรุกต่อไป (Söderhäll and Cerenius, 1998) นอกจากนี้ การสลายของเซลล์ไม่ใช่ที่ชนิดมีกรานูลยังมีการหลังสารชนิดอื่น ๆ เพื่อป้องกันไม่ให้เกิดการเจริญของจุลินทรีย์บุกรุก เช่นตัวยับยั้งเอนไซม์โปรตีนีส (proteinase inhibitor) (Söderhäll and Cerenius, 1992) เพื่อยับยั้งการทำงานของเอนไซม์โปรตีนของจุลินทรีย์ในการย่อยโปรตีนที่แข็งตัว (clotting protein) ของเซลล์เจ้าบ้าน หรือมีการหลังเลคติน (lectin) ซึ่งเป็น PRP ชนิดหนึ่งที่จับจำเพาะกับน้ำตาลหรือคาร์บอไอล์เดรตบนผนังเซลล์จุลินทรีย์เพื่อช่วยกำจัดการบุกรุกของจุลินทรีย์ จากการที่ผนังเซลล์ของจุลินทรีย์มีโครงสร้างของน้ำตาลที่ซับซ้อนและหลากหลาย จึงมีเลคตินหลายชนิดในสิ่งมีชีวิตชนิดเดียวกัน โดยแบ่งตามความจำเพาะต่อชนิดของคาร์บอไอล์เดรต เมื่อจากเลคตินสามารถทำให้เซลล์จุลินทรีย์เกิดการเกาะกลุ่ม (agglutinate) ได้ จึงเป็นการยับยั้งไม่ให้จุลินทรีย์แพร่กระจายไปยังที่ต่าง ๆ นอกจากนี้เลคตินยังจับระหว่างจุลินทรีย์และเซลล์ไม่ใช่ที่นำไปสู่การกลืนกินจุลินทรีย์บุกรุกได้ (Sritunyalucksana et al., 2001) แม้เลคตินไม่ได้เป็นตัวทำลายจุลินทรีย์ก่อโรคโดยตรง แต่พบว่าเลคตินสามารถจับกับโปรตีน BGBP ได้ในกุ้งนาง (Duvic and Söderhäll, 1990) หรือในกุ้ง *Penaeus californiensis* (Vargas-Albores et al., 1996) และทำให้ BGBP ไปกระตุ้นกลไกการป้องกันตนเองให้เกิดการตอบสนองของเจ้าบ้านต่อจุลินทรีย์บุกรุกต่อไป

ปัจจุบันยังมีรายงานการศึกษาโปรตีน LGBP ในกุ้งน้อยมาก มีการศึกษาทั้งระดับโปรตีนและยีนในกุ้งนาง พบร่วมกับ LGBP ของกุ้งนางมีขนาดเล็กกว่า BGBP คือมีมวลโมเลกุล 40 kDa ประกอบด้วยสายโพลีเปปไทด์สายเดียว ไม่มีหน่วยย่อย สามารถจับได้ทั้ง LPS และเบตา-1,3-กลูแคน การกระตุ้นแอคทิวิตี้ (activity) ของเอนไซม์ฟีนอลออกซิเดสถูกยับยั้งได้โดยแอนติบอดีต่อ LGBP บริสุทธิ์ (Lee et

*et al.*, 2000) มีการศึกษาใน LGBP โดยไม่มีการศึกษาระดับโมเลกุลโปรตีนในกุ้งขาวจีน (Chinese white shrimp, *Fenneropenaeus chinensis*) (Du *et al.*, 2007) และกุ้งขาว (Cheng *et al.*, 2005) มีรายงานการแสดงออกของยีน LGBP เพิ่มขึ้นหลังการฉีดกุ้งขาวด้วยแบคทีเรีย *Vibrio alginolyticus* (Cheng *et al.*, 2005) หรือการฉีดด้วยไวรัส WSSV ในกุ้ง *Penaeus stylostris* (Roux *et al.*, 2002) แสดงให้เห็นถึงบทบาทที่เกี่ยวข้องกับระบบภูมิคุ้มกันของ LGBP ในกุ้ง เนื่องจากข้อมูลด้านโปรตีนและยีนของ LGBP ของกุ้งพีเนียด (penaeid) ยังมีไม่มากนัก ซึ่งโปรตีนนี้เป็น PRP ที่สามารถจับได้ทั้ง LPS และเบตา-1,3-กลูแคนของจุลินทรีย์ก่อโรค อันจะนำไปสู่การกระตุนระบบภูมิคุ้มกันในกุ้งได้ งานวิจัยนี้จึงสนใจที่จะใช้กุ้งขาวซึ่งเป็นกุ้งเศรษฐกิจเป็นกุ้งตัวอย่างในการศึกษา โดยมีจุดประสงค์ที่จะศึกษาโมเลกุลระดับโปรตีนและยีนของ LGBP ด้วยการทำให้โปรตีน LGBP บริสุทธิ์และศึกษาคุณสมบัติทางชีวเคมีของ LGBP รวมทั้งโคลนและศึกษาคุณสมบัติของยีน LGBP ตลอดจนศึกษาผลของการเหนี่ยวนำด้วยเชื้อก่อโรคกุ้งต่อการแสดงออกของยีน LGBP ในกุ้งขาว แม้ความรู้ที่ได้ในเบื้องต้นนี้ยังไม่สามารถนำไปแก้ปัญหาการติดโรคกุ้งโดยตรงได้ แต่ทำให้เข้าใจถึงบทบาททางชีวภาพของ LGBP ที่เกี่ยวข้องกับการตอบสนองของกุ้งขาวเมื่อถูกกระตุนให้ติดเชื้อก่อโรค ซึ่งจะเป็นข้อมูลวิจัยส่วนหนึ่งนำไปสู่การเรียนรู้กลไกการป้องกันตนเองในกุ้ง โดยนำไปใช้กับแนวทางการทำงานของเลคตินและกับโปรตีนชนิดอื่น ๆ เช่นเอนไซม์พินอลออกซิเดส ซึ่งผู้วิจัยได้ศึกษาในกุ้งแซบวย (*Fenneropenaeus merguiensis*) ไปก่อนแล้ว ทั้งนี้จากการที่พบว่าโปรตีนต่าง ๆ ในสิ่งมีชีวิตมักไม่ทำงานเดี่ยว ๆ แต่มีการทำงานร่วมหรือเชื่อมโยงกัน นอกจากนี้ ผลการวิจัยที่ได้คาดว่าจะเป็นประโยชน์ต่อการประยุกต์ใช้กับการเพาะเลี้ยงกุ้งขาวต่อไปในอนาคต

## วัตถุประสงค์ของการวิจัย

- เพื่อทำให้โปรตีนจับลิโพโพลีเซ็คคาโรลด์และเบตา-1,3-กลูแคน (LGBP) บริสุทธิ์จากกุ้งขาว
- เพื่อศึกษาคุณสมบัติทางชีวเคมีของ LGBP
- เพื่อสร้าง cDNA สายเต็มของยีน LGBP ของกุ้งขาว
- เพื่อศึกษาการแสดงออกของยีน LGBP ในเนื้อเยื่อของกุ้งขาว
- เพื่อศึกษาผลการเหนี่ยวนำเชื้อก่อโรคกุ้งต่อการแสดงออกของยีน LGBP ในกุ้งขาว

## วิธีดำเนินการวิจัย

### 1. การเตรียมตัวอย่าง

กุ้งขาวที่ใช้ศึกษาเป็นกุ้งมีชีวิต น้ำหนักประมาณตัวละ 10-15 กรัม อยู่ในระยะคราบแข็ง ซึ่งจากฟาร์มเลี้ยงในจังหวัดสงขลาหรือจังหวัดใกล้เคียงอื่น ๆ

### 1.1 การเตรียมซีรัมหรือชีโนลิมฟ์

ดูดเลือดจากกุ้งขาวด้วยระบบอกรดยา ปล่อยให้เลือดแข็งตัว ที่อุณหภูมิ 4 ° ช นาน 1 คืน แล้ว ไขเมจีไนซ์ (homogenize) จากนั้นนำไปเซนติริพิวจ์ (centrifuge) ที่ความเร็ว 500 x g ที่อุณหภูมิ 4 ° ช เป็นเวลา 20 นาที เก็บส่วนใสหรือชีโนลิมฟ์ที่เตรียมได้ที่ -20 ° ช เพื่อใช้ศึกษาต่อไป

### 1.2 การเตรียมเซลล์ชีโนไซซ์

ดูดเลือดจากกุ้งขาว ผสมกับสารกันเลือดแข็งตัว [450 mM NaCl, 10 mM KCl, 10 mM EDTA (ethylenediamine tetraacetic acid), 10 mM PMSF (phenylmethylsulfonyl fluoride) และ 10 mM HEPES, pH 7.3] ทันทีให้มีอัตราส่วนเป็น 1:1 นำไปเซนติริพิวจ์ที่ความเร็ว 800 x g ที่อุณหภูมิ 4 ° ช เป็นเวลา 20 นาที ล้างตะกอนชีโนไซซ์ที่ได้โดยการข�วนลอยใน 10 mM sodium cacodylate, 0.45 M NaCl, 20 mM CaCl<sub>2</sub>, pH 7 แล้วเซนติริพิวจ์อีกครั้ง เก็บตะกอนชีโนไซซ์ที่ -80 ° ช เพื่อใช้เตรียม Total RNA หรือนำไปเตรียมสารสกัดชีโนไซซ์ ซึ่งทำโดยการไขเมจีไนซ์เซลล์ชีโนไซซ์ในบัฟเฟอร์ 10 mM sodium cacodylate, 100 mM CaCl<sub>2</sub>, pH 6.5 นำส่วนใส (hemocyte lysate, HLS) ที่ได้หลังการเซนติริพิวจ์ที่ 9,300 x g นาน 5 นาที ไปศึกษา LGBP ต่อทันที

### 1.3 การเตรียมสารสกัดตับ

หลังการดูดเลือดเรียบร้อยแล้ว ตัดตับจากกุ้งขาวและเก็บที่อุณหภูมิ -80 ° ช จนกว่าจะใช้ ใน การเตรียมสารสกัดตับ ทำโดยตัดตับเป็นชิ้นเล็ก ๆ แล้วไขเมจีไนซ์ใน 50 mM Tris-HCl, pH 7.5 - 1 mM PMSF จากนั้นเซนติริพิวจ์ที่ความเร็ว 16,000 x g ที่อุณหภูมิ 4 ° ช เป็นเวลา 10 นาที ส่วนใสที่ได้เป็นสารสกัดตับนำไปทำให้โปรตีน LGBP บริสุทธิ์หรือศึกษาคุณสมบัติต่อไป

หาปริมาณโปรตีนของแต่ละตัวอย่างด้วยวิธี Bradford (1976) โดยใช้ BSA (bovine serum albumin) เป็นโปรตีนมาตรฐาน

## 2. การตรวจหาโปรตีน LGBP ในเนื้อเยื่อโดยวิธี Western blot

เพื่อตรวจหาว่าโปรตีน LGBP กระจายอยู่ในเนื้อเยื่อใดของกุ้งขาว นำชีโนลิมฟ์ สารสกัดชีโนไซซ์ และสารสกัดตับไปวิเคราะห์ด้วยการทำโพลีอะคริลาไมด์เจลอิเล็กโทรฟอร์ซแบบมีเอสดีเอส ที่มีความเข้มข้นเจล 12% (12% SDS-PAGE, sodium dodecyl sulfate-polyacrylamide gel electrophoresis) (Laemmli, 1970) และวิเคราะห์ต่อด้วยวิธี Western blot ตามวิธีของ Auttarat และคณะ (2006; Towbin et al., 1979) ดังนี้ ขันถ่ายโปรตีนในแผ่นเจลลงบนแผ่นไนโตรเซลลูโลสเมมเบรน (nitrocellulose membrane) ทำใน 0.025 M Tris, 0.192 M glycine, 10% methanol, pH 8.3 และใช้กระแสไฟฟ้าที่ 500 mA นาน 1 ชั่วโมง ล้างเมมเบรนด้วย TBS (50 mM Tris-HC, pH 7.5 - 0.9% NaCl) จากนั้นนำไปปั่นใน TBS ที่มี 10% skim milk ที่อุณหภูมิห้อง นาน 10 ชั่วโมง แล้วล้างเมมเบรน 3 ครั้ง ด้วย TBS ที่มี 0.05% Tween 20 (TBST) นำไปปั่นต่อด้วยแอนติบอดีต่อโปรตีนลูกผสม LGBP

บริสุทธิ์ของกุ้งแซบวัย (anti - FmrLGBP, 1<sup>°</sup> Ab) (ได้จากการวิทยานิพนธ์ปริญญาเอกของนางสาว อารีรัตน์ เซาว์สมบูรณ์) ใน TBST ที่มี 5% skim milk ที่อุณหภูมิห้อง นาน 2 ชั่วโมง ล้างเมมเบรนด้วย TBST 3 ครั้ง นำไปปั่นต่อในสารละลายแอนติบอดีต่อ IgG ของกระต่ายซึ่งยึดอยู่กับเอนไซม์ Peroxidase คิเดสหรือ 2<sup>°</sup> Ab (goat anti-rabbit IgG peroxidase conjugated) ที่เจือจาง 1:20,000 เป็นเวลา 1 ชั่วโมง ล้างด้วย TBST 3 ครั้ง และล้างต่อด้วย TBS 2 ครั้ง จากนั้นย้อมเมมเบรนด้วย TMB (3,3',5,5'-tetramethylbenzidine) substrate kit และหยุดปฏิกิริยาโดยการล้างเมมเบรนด้วยน้ำกลัน

### 3. การทำให้ LGBP บริสุทธิ์

จากผลวิจัยข้อ 2 พบແນບโปรตีน LGBP เฉพาะในสารสกัดตับของกุ้งขาว งานวิจัยนี้จึงได้ทำการทำบริสุทธิ์ LGBP จากสารสกัดตับของกุ้งขาว โดยคอลัมน์ Q-Sepharose และด้วยการทำไฟลีอะคริลามิดเจล อิเล็ก troförcisแบบเตรียม (Preparative PAGE) ดังนี้ เตรียมคอลัมน์ Q-Sepharose ที่มีปริมาตรเจล 25 มิลลิลิตร ปรับสมดุลคอลัมน์ด้วย 50 mM Tris-HCl, pH 7.5 ที่มี 1 mM PMSF นำสารกสัดตับ (จาก ข้อ 1.3) (234 มิลลิกรัม) ผ่านลงในคอลัมน์ Q-Sepharose แล้วล้างคอลัมน์ด้วยบัฟเฟอร์ชนิดเดิม ปริมาตร 40 มิลลิลิตร เก็บสารละลายหลอดละ 0.8 มิลลิลิตร วัดปริมาณโปรตีน จนมีปริมาณโปรตีนเข้าไกล์คูนย์ แล้วจะคอลัมน์ด้วย 0.5 M NaCl ใน 50 mM Tris-HCl, pH 7.5 ที่มี 1 mM PMSF ปริมาตร 40 มิลลิลิตร ตามด้วย 1 M NaCl ในบัฟเฟอร์ชนิดเดิมปริมาตร 20 มิลลิลิตร รวมสารละลายหลอดที่มีปริมาณโปรตีนสูง ทำให้เข้มข้นและไดอะไลซ์ (dialyze) ใน 50 mM Tris-HCl, pH 7.5 และทดสอบ ความบริสุทธิ์โดยการทำ 12% SDS-PAGE แล้วนำสารละลายโปรตีนพีค (peak) 3 ที่ได้จากคอลัมน์ Q-Sepharose ไปแยกต่อด้วยการทำ Preparative PAGE ตามวิธีของ Auttarat และคณะ (2006) โดย การแยกสารละลาย LGBP เข้มข้นด้วยการทำ PAGE แบบไม่แปลงสภาพ (Native PAGE) (Davis, 1964) ในเจลทั้งแผ่นที่มีความเข้มข้นของเจล 12% หลังทำอิเล็ก troförcis ตัดเจลเฉพาะແນບโปรตีน LGBP ตามขวางตลอดแผ่น จะโปรตีน LGBP ออกจากการแยกตัวอย่างใน 50 mM Tris-HCl, pH 7.5 แล้วเช่นตัวพิวจ์ที่ความเร็ว 16,000 x g ที่อุณหภูมิ 4<sup>°</sup> ชั่วโมง เก็บตัวอย่าง 10 นาที นำส่วนใส่ที่ได้ไปไดอะไลซ์ในบัฟเฟอร์ 50 mM Tris-HCl, pH 7.5 ทำให้เข้มข้น หาปริมาณโปรตีน ทดสอบความบริสุทธิ์ ของโปรตีน LGBP โดยวิธี SDS-PAGE

### 4. การศึกษาคุณสมบัติของโปรตีน LGBP บริสุทธิ์

#### 4.1 การหามวลโมเลกุลของ LGBP บริสุทธิ์

หามวลโมเลกุลและจำนวนหน่วยย่อยของ LGBP บริสุทธิ์โดยวิธี SDS-PAGE ที่มีความเข้มข้น ของเจล 6-12% และในสภาพรีดิวจ์ (reduce) หรือไม่รีดิวจ์ หลังการทำอิเล็ก troförcis ย้อมโปรตีนในเจลด้วยสีคูมาซีบลู (0.02% Coomassie blue R-250, 50% methanol, 7.5% acetic acid) แล้ว คำนวณมวลโมเลกุลของ LGBP เปรียบเทียบกับโปรตีนมาตรฐานที่ทำการทดลองควบคู่กัน

## 4.2 การทดสอบการกระตุ้นเอนไซม์ฟินอลออกซิเดสโดย LGBP บริสุทธิ์

เพื่อทดสอบว่า LGBP บริสุทธิ์สามารถกระตุ้นแอกทิวิตีของเอนไซม์ฟินอลออกซิเดสได้หรือไม่ ทำการวัดแอกทิวิตีของเอนไซม์ฟินอลออกซิเดสในสารสกัดเยื่อไมเกร็ท (จากข้อ 1.2) โดยใช้ L-DOPA (3,4-dihydroxyphenyl-L-alanine) เป็นลับสเตรท ตามวิธีการของวีแลพร อรรมรัตน์ (2551) ในสภาวะที่มี LGBP บริสุทธิ์ และมีหรือไม่มีเบตา-1,3-กลูแคนหรือ laminatein (laminarin), lipopolysaccharide (LPS) หรือ lipoteichoic acid (LTA) ดังนี้ ใช้สารสกัดเยื่อไมเกร็ทปริมาณ 20 ไมโครลิตร (ปริมาณโปรตีน 100 ไมโครกรัม) ผสมกับ LGBP บริสุทธิ์ ปริมาณ 2 ไมโครกรัม ในสภาวะที่ไม่มีหรือมีเบตา-1,3-กลูแคน ปริมาณ 5 ไมโครกรัม ในบัฟเฟอร์ CAC (10 mM sodium cacodylate, pH 8) ให้มีปริมาตรรวม 100 ไมโครลิตร บ่มสารผสมที่อุณหภูมิห้องนาน 30 นาที จากนั้นเติม 4 mg/ml L-DOPA ปริมาตร 90 ไมโครลิตร และบัฟเฟอร์ CAC ให้มีปริมาตรรวม 320 ไมโครลิตร บ่มที่อุณหภูมิห้องนาน 45 วินาที แล้วปรับให้มีปริมาตรครบ 0.8 มิลลิลิตร ด้วยบัฟเฟอร์ CAC, pH 8 จากนั้นวัดค่าการดูดกลืนแสงที่ความยาวคลื่น 490 นาโนเมตร (A490) ทุกนาที นาน 5 นาที กำหนดให้ค่าแอกทิวิตีของเอนไซม์ฟินอลออกซิเดส 1 หน่วย เท่ากับค่า A490 ที่เปลี่ยนไป 0.001 หน่วย ในเวลา 1 นาที แล้ววิเคราะห์โดยเปรียบเทียบ แอกทิวิตีของเอนไซม์ฟินอลออกซิเดสในสภาวะที่มีกับสภาวะที่ไม่มีเบตา-1,3-กลูแคน

เพื่อศึกษาผลของ LPS หรือ LPA ทำการทดลองในทำนองเดียวกัน แต่ใช้ LPS หรือ LTA อย่างละ 5 ไมโครกรัม แทนเบตา-1,3-กลูแคน ในการบ่มกับ LGBP บริสุทธิ์

## 4.3 การทดสอบการเกาะกลุ่มแบคทีเรียโดย LGBP บริสุทธิ์

ทดสอบการเกาะกลุ่มแบคทีเรียแกรมลบที่ก่อโรคกุ้ง ได้แก่ *Vibrio parahaemolyticus* (เลี้ยงตามวิธีการข้อ 7.1) ทำโดยใช้โปรตีน LGBP บริสุทธิ์ ดูการเหนี่ยวนำให้แบคทีเรีย *V. parahaemolyticus* เกิดการเกาะกลุ่ม ตามวิธีของ Utarabhand และคณะ (2007) ดังนี้ เจือจากโปรตีน LGBP บริสุทธิ์ ให้มีความเข้มข้นที่เหมาะสมใน TBS (50 mM Tris-HCl, pH 7.5 -0.9% NaCl) ที่มี 10 mM CaCl<sub>2</sub> จากนั้นใช้ LGBP ปริมาตร 50 ไมโครลิตร ผสมกับสารแขวนลอยแบคทีเรียปริมาตร 50 ไมโครลิตร ( $5 \times 10^7$  เชลล์) วางที่อุณหภูมิห้องนาน 1 ชั่วโมง พั่อมเขย่า 1-2 ครั้ง จากนั้นหยดสารผสมลงบนแผ่นไปด์ปิดด้วย cover slide แล้วสังเกตการเกาะกลุ่มแบคทีเรียด้วยกล้องจุลทรรศน์ ในการทดลองนี้ใช้โปรตีน BSA เป็นชุดควบคุม ในการทดสอบผลของความต้องการ CaCl<sub>2</sub> ในการเกาะกลุ่ม *V. parahaemolyticus* ด้วย LGBP บริสุทธิ์ ทำในสภาวะที่มี 10 mM EDTA แทน 10 mM CaCl<sub>2</sub> แล้วทดลองต่อในทำนองเดียวกัน

นอกจากนี้ได้ทดสอบผลการยับยั้งการเกาะกลุ่ม *V. parahaemolyticus* โดยโปรตีน LGBP บริสุทธิ์ ด้วยนำตัวลทำโดยเจือจากเบตา-1,3-กลูแคน หรือ LPS ให้มีความเข้มข้นต่าง ๆ กัน แล้วผสม LGBP บริสุทธิ์ที่มีความเข้มข้นเหมาะสม ปริมาตร 25 ไมโครลิตร กับนำตัวลแต่ละชนิดที่ความเข้มข้นต่าง ๆ ปริมาตร 25 ไมโครลิตร วางที่อุณหภูมิห้องนาน 45 นาที จากนั้นเติมสารแขวนลอยแบคทีเรีย ปริมาตร 50 ไมโครลิตร ( $5 \times 10^7$  เชลล์) ตั้งที่อุณหภูมิห้องนาน 1 ชั่วโมง พั่อมเขย่า 1-2 ครั้ง แล้วดูการ

เก้าะกลุ่มเซลล์แบคทีเรียภายในตัวกล้องจุลทรรศน์ จากนั้นคำนวณความเข้มข้นต่ำสุดของเบตา-1,3-กาลูแคน หรือ LPS ที่สามารถยับยั้งการเก้าะกลุ่มของ *V. parahaemolyticus* ได้อย่างสมบูรณ์

#### 4.4 การทดสอบการจับระหว่าง LGBP บริสุทธิ์กับแบคทีเรีย

เพื่อทดสอบการจับของ LGBP บริสุทธิ์กับแบคทีเรียก่อโรคกุ้ง ทำการทดลองโดยนำ LGBP บริสุทธิ์ ปริมาณ 10 ไมโครกรัม บ่มกับแบคทีเรีย *V. parahaemolyticus* ( $5 \times 10^7$  เซลล์) ในบัฟเฟอร์ TBS ปริมาณรวม 1 มิลลิลิตร ในสภาวะที่มีหรือไม่มี 10 mM CaCl<sub>2</sub> ที่อุณหภูมิห้อง นาน 20 นาที จากนั้นนำไป centrifuge ที่ความเร็ว 6,000 x g ที่อุณหภูมิ 4 °C เป็นเวลา 10 นาที ล้างตะกรอนด้วยบัฟเฟอร์ชนิดเดิม รวม 3 ครั้ง แล้วจะ LGBP ออกจากการตะกรอนเซลล์ด้วยบัฟเฟอร์ที่มี 7% SDS จากนั้นนำส่วนใส่ที่ได้จากการ centrifuge ไปเคราะห์ด้วยการทำ 12% SDS-PAGE และ Western blot ตามวิธีการข้อ 2

### 5. การโคลนยืน LGBP

#### 5.1 การสร้างไพรเมอร์และการเตรียม RNA จากตับของกุ้งขาว

จากข้อมูล conserved nucleotide sequence ของยืน LGBP ของกุ้งชนิดอื่น ๆ ที่หาได้จากฐานข้อมูลใน GenBank นำข้อมูลเหล่านี้ไปออกแบบสร้าง forward และ reverse primer (รูปที่ 8) และนำไพรเมอร์เหล่านี้ไปใช้ในการสร้าง cDNA ของยืน LGBP โดยเตรียม RNA ด้วยการสกัด total RNA จากตับของกุ้งขาว โดยใช้ชุดเตรียม RNA และทำตามวิธีการของบริษัท (Qiagen) ตรวจความบริสุทธิ์ของ RNA เทียบกับปริมาณโปรตีนโดยวัดค่าการดูดกลืนแสงที่ความยาวคลื่น 280 และ 260 นาโนเมตร

เนื่องจากผลงานวิจัยนี้ยังไม่ได้เตรียมต้นฉบับเพื่อตีพิมพ์เผยแพร่ จึงขอไม่ระบุลำดับนิวคลีโอไทด์ของไพรเมอร์ทั้งหมดและรายละเอียดของการโคลนยืนไว้ในรายงานฉบับนี้

#### 5.2 การสร้าง cDNA ชิ้นกลางของยืน LGBP และการหาลำดับนิวคลีโอไทด์

สร้าง cDNA จาก total RNA ที่สกัดจากตับ โดยวิธี RT-PCR (reverse transcription-polymerase chain reaction) โดยใช้เอนไซม์ Reverse Transcriptase (RT) และใช้ไพรเมอร์ที่ออกแบบจากข้อ 5.1 (LGBP-F1 และ LGBP-R1, รูปที่ 8) เพิ่มปริมาณ cDNA ของยืน LGBP ด้วยการทำ polymerase chain reaction (PCR) ภายใต้สภาวะดังนี้ บ่มที่ 94 °C นาน 2 นาที ตามด้วยการทำ denaturation 35 รอบ ที่ 94 °C นาน 30 วินาที, annealing ที่ 58 °C นาน 45 วินาที และ extension ที่ 72 °C นาน 1 นาที จากนั้นทำ final extension ที่ 72 °C 5 นาที วิเคราะห์ PCR product ด้วย 1% agarose gel electrophoresis ใน 40 mM Tris-acetate, pH 8 - 1 mM EDTA ใช้กระแส 50 V นาน 45 นาที แล้วย้อมเจลด้วย ethidium bromide สักดิชั่น PCR cDNA ออกจากเจลโดยใช้ Gel extraction kit จากนั้นโคลนเข้าสู่ pGEM-T Easy vector (Promega) ด้วย PCR cloning kit แล้ว transform เข้า competent cell ของ *E. coli* DH5α ตรวจสอบชิ้น cDNA ด้วย EcoRI และส่งไปหาลำดับนิวคลีโอไทด์

โดยใช้ T7-SP6 primer, internal primer และ Dye terminator cycle sequencing kit ด้วยเครื่อง Automate DNA Sequencer (Applied Biosystems)

### 5.3 การสร้าง cDNA สายเต็ม (Full-length cDNA) ของยีน LGBP

สร้างชิ้น cDNA ที่ปลาย 5' และ 3' ของยีน LGBP ด้วยเทคนิค 5' และ 3' RACE (rapid amplification of cDNA end) (Rattanaporn and Utarabhand, 2011) โดยใช้ GeneRacer kit (Invitrogen) ซึ่งสร้าง cDNA สายแรกด้วย GeneRacer SuperScript II RT และใช้ oligo dT primer แล้วทำ PCR ด้วย *Taq* DNA polymerase โดยใช้ LGBP-F1 และ GeneRacer3' primer (รูปที่ 8) สำหรับ 3' RACE และปฏิกริยา PCR สำหรับ 3' และ 3' nested RACE ประกอบด้วยการบ่มที่ 94 ° 2 นาที แล้วบ่มจำนวน 5 รอบ ที่ 94 ° 30 วินาที และ 72 ° 2 นาที ตามด้วย 5 รอบ ที่ 94 ° 30 วินาที, 70 ° 30 วินาที และ 72 ° 1.5 นาที จากนั้นตามด้วย 25 รอบ ที่ 94 ° 30 วินาที, 68 ° 30 วินาที และ 72 ° 1.5 นาที แล้วบ่มรอบสุดท้ายที่ 72 ° 5 นาที ขณะที่ใช้ LGBP-R1 (รูปที่ 8) และ GeneRacer5' primer สำหรับ 5' RACE โดยทำ PCR สำหรับ 5' และ 5' nested RACE กระบวนการเดียวกับวิธีการข้อ 5.2 วิเคราะห์ PCR product และส่งหาลำดับนิวคลีโอไทด์ตามวิธีข้อ 5.2 จากนั้นนำลำดับนิวคลีโอไทด์ของ cDNA สามชิ้นมาเหลือกันเพื่อสร้างเป็น cDNA สายเต็มของยีน LGBP นำข้อมูลลำดับนิวคลีโอไทด์ของ cDNA สายเต็มของยีน LGBP ของกุ้งขาวที่หาได้ไปเปรียบเทียบกับยีน LGBP ของกุ้งชนิดอื่นที่มีอยู่ใน GenBank เพื่อเปรียบเทียบความเหมือนของยีนนี้กับยีนของกุ้งชนิดอื่น ๆ

## 6. การศึกษาการแสดงออกของยีน LGBP ในเนื้อเยื่อของกุ้ง

เพื่อศึกษาการแสดงออกของยีน LGBP ในเซลล์เมืองไข่ที่ตับและเนื้อเยื่ออื่น ๆ ของกุ้งขาว สด total RNA จากเนื้อเยื่อเหล่านี้ของกุ้งด้วยชุดเตรียม RNA และทำการวิธีการของบริษัท (Qiagen) จากนั้นใช้ RNA และพรีเมอร์คู่ที่ใช้ในวิธีการข้อ 5.2 ติดตามการแสดงออกของ mRNA ของยีน LGBP ในเนื้อเยื่อต่าง ๆ โดยวิธี RT- PCR ตามวิธีการข้อ 5.2 และใช้ 18S rRNA เป็น internal standard

## 7. การทดสอบการเหนี่ยวนำด้วยเชื้อก่อโรคที่มีผลต่อการแสดงออกของยีน LGBP ในกุ้งขาว

### 7.1 การเตรียมเชื้อแบคทีเรียและไวรัส

หัวเชื้อ (stock) ของไวรัส WSSV และแบคทีเรีย *V. harveyi* ที่ใช้ในการทดลองได้รับความอนุเคราะห์จากศูนย์วิจัยสุขภาพสัตว์น้ำ มหาวิทยาลัยสงขลานครินทร์ สำหรับแบคทีเรีย *V. parahaemolyticus* ได้รับความอนุเคราะห์จากภาควิชาจุลชีววิทยา คณะวิทยาศาสตร์ มหาวิทยาลัยสงขลานครินทร์ เก็บจุลทรรศน์ไว้ที่ -80 ° จนกว่าจะใช้

ในการเตรียมแบคทีเรีย ทำโดยเลี้ยงแบคทีเรียบนอาหารแข็ง TSA (tryptic soy agar) ที่มี 1.5% NaCl ที่อุณหภูมิ 37 ° นาน 18 ชั่วโมง เพิ่มปริมาณเชื้อโดยนำเชื้อ 1 โคลoni ไปเลี้ยงในอาหารเหลว TSB

(tryptic soy broth) ที่มี 1.5% NaCl ปริมาณ 5 มิลลิลิตร นาน 18 ชั่วโมง ที่ 37 ° ซึ่งจากนั้นเจือจาง 1:100 แล้วเลี้ยงต่อในอาหารเหลวบริมาร์ต 100 มิลลิลิตร ที่อุณหภูมิ 37 ° นาน 18 ชั่วโมง นำไป เช่นดิริพิวจ์ที่ความเร็ว 1,100 x g นาน 30 นาที ที่ 4 ° ซึ่งจากนั้นล้างเซลล์ในน้ำเกลือ (0.85% NaCl) นำไป เช่นดิริพิวจ์ ล้างตะกอนและเตรียมแบคทีเรียในน้ำเกลือให้มีค่าการดูดกลืนแสงที่ความยาวคลื่น 640 นาโนเมตร อยู่ในช่วง 0.5-0.9 หน่วย นับจำนวนเซลล์ด้วยวิธี plate count agar แล้วเก็บที่ 4 ° เพื่อใช้ ศึกษาต่อไป

## 7.2 การศึกษาการแสดงออกของยีน LGBP ในตับที่บ่มด้วยจุลินทรีย์ก่อโรค

เพื่อศึกษาการตอบสนองของยีน LGBP ต่อจุลินทรีย์ก่อโรคกุ้ง ทำโดยตัดตับออกจากตัวกุ้งขาว ตับของกุ้งแต่ละตัวแยกเป็นชิ้นเล็ก ๆ ชิ้นละประมาณ 30 มิลลิกรัม นำไปวางใน culture plate ที่มี K-199 culture medium แล้วเติม *V. harveyi* หรือ *V. parahaemolyticus* หلامละ  $5 \times 10^7$  เซลล์ หรือ WSSV ( $10^7$  stock) บ่มที่อุณหภูมิ 37 ° นาน 0 - 4 ชั่วโมง แล้วนำชิ้นตับที่เวลาต่าง ๆ ไปสกัด total RNA จากนั้นติดตามการแสดงออกของ mRNA ของยีน LGBP โดยวิธี RT- PCR เซิงบิร์าม (semi-quantitative RT- PCR) เทียบกับชุดควบคุมที่บ่มกับ K-199 อย่างเดียว

## ผลการทดลองและวิจารณ์

### 1. การตรวจหาโปรตีน LGBP ในเนื้อเยื่อของกุ้งขาวโดยวิธี Western blot

เนื่องจากโปรตีน LGBP ไม่มีแอกทิวิทีทางชีวภาพที่ตรวจวัดได้ง่าย และยังไม่มีโปรตีน LGBP ที่ผ่านการทำบริสุทธิ์ในกุ้งขาวมาก่อน งานวิจัยนี้ต้องการติดตามโปรตีน LGBP ในขั้นตอนของการทำบริสุทธิ์ จึงทดสอบการทำปฏิกิริยาระหว่างโปรตีน LGBP ของกุ้งขาวกับแอนติบอดีต่อโปรตีนลูกผสม FmrLGBP ของกุ้งแซบ้าย (*F. merguiensis* recombinant LGBP) ที่มีอยู่ในห้องปฏิบัติการของรองศาสตราจารย์ ดร. ประภาพร อุทาրพันธุ์ (อารีรัตน์ เข้าว์สมบูรณ์ และคณะ, 2556) พบร่วมมีโปรตีนหนึ่งแถบในสารสกัด ตับจากกุ้งขาว ซึ่งมีมวลโมเลกุลประมาณ 40 kDa (รูปที่ 1A 伟大ที่ 3) ที่สามารถเกิดปฏิกิริยากับ แอนติบอดีดังกล่าวได้เป็นอย่างดี (รูปที่ 1B 伟大ที่ 3) เมื่อเทียบกับการเกิดปฏิกิริยาระหว่างแอนติเจน (FmrLGBP ของกุ้งแซบ้าย) กับแอนติบอดีต่อ FmrLGBP ของกุ้งแซบ้ายเอง (รูปที่ 1 伟大ที่ 2) นอกจากนี้ แอนติบอดีต่อ FmrLGBP ของกุ้งแซบ้ายยังมีความจำเพาะกับโปรตีน (40 kDa) ดังกล่าวในสารสกัดตับ จากกุ้งขาว เพราะเกิดปฏิกิริยาได้กับเฉพาะโปรตีน 40 kDa เท่านั้น โดยไม่พบรการเกิดปฏิกิริยากับโปรตีน แถบอื่น ๆ ในสารสกัดตับ หรือกับโปรตีนมาตรฐานทุกชนิด (รูปที่ 1 伟大ที่ 1) นอกจากนี้ จากการคอลน ยีน LGBP จากกุ้งขาว พบร่วมกับ LGBP สามารถแปลเป็นเปปไทด์ที่มีขนาด 41.6 kDa และมีการ แสดงออกมากที่สุดในตับ ไม่พบในเซลล์อี莫ไซด์ บ่งชี้ว่าแถบโปรตีน (40 kDa) เพียงแถบเดียวในสาร สกัดตับที่เกิดปฏิกิริยากับแอนติบอดีต่อ FmrLGBP ของกุ้งแซบ้าย (รูปที่ 1B 伟大ที่ 3) เป็นโปรตีน LGBP

เพราะพนในตับและมีนวลดไมเลกุลไกล์เดียงกับโปรตีน LGBP ที่คำนวนได้จากยืน LGBP ของ กุ้งขาว

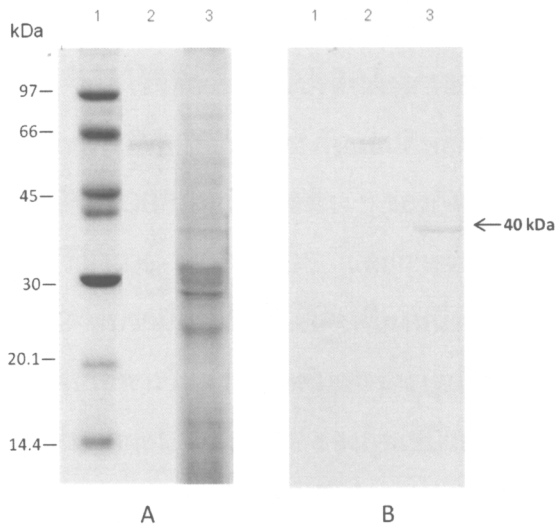


Fig. 1 Electrophoretic protein pattern of LGBP. Proteins were separated by 12% SDS-PAGE and stained with Coomassie blue (A). LGBP was analyzed by Western blotting and stained with anti-FmrLGBP antibody (B). Lane 1, molecular weight markers; lane 2, FmrLGBP and lane 3, hepatopancreas extract.

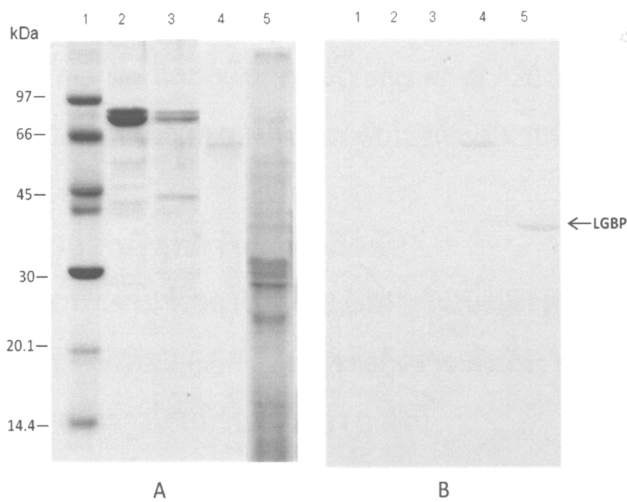


Fig. 2 Protein pattern in 12% SDS-PAGE (A) and Western blotting (B). The gel was stained with Coomassie blue (A) and LGBP was detected with anti-FmrLGBP antibody (B). Lane 1, molecular weight markers; lane 2, hemolymph; lane 3, hemocyte lysate; lane 4, FmrLGBP and lane 5, hepatopancreas extract.

LGBP เป็นหนึ่งในโปรตีนที่มีความสำคัญในระบบภูมิคุ้มกันแบบอาศัยสารน้ำ ทำหน้าที่เป็นโปรตีนจดจำรูปแบบ (PRP) มีรายงานว่าโปรตีน LGBP ถูกสังเคราะห์ในอีโมไซด์ แต่มีการแสดงออกของ LGBP ในเนื้อเยื่ออื่น ๆ นอกเหนือจากอีโมไซด์ อาทิ เช่น พบรการแสดงออกของยีน LGBP ในตับของกุ้งแซบวัย (Rattanaporn, 2010) และกุ้ง *L. stylirostris* (Roux et al., 2002)

จากการทดลองข้างต้น จึงได้ใช้วิธีการแยกโปรตีนด้วย 12% SDS-PAGE และติดตามแถบโปรตีน LGBP ของกุ้งขาวด้วยการทำ Western blot กับแอนติบอดีต่อ FmrLGBP ของกุ้งแซบวัย เพื่อตรวจหาการกระจายตัวของโปรตีน LGBP ในเนื้อเยื่อต่าง ๆ ของกุ้งขาว โดยใช้โปรตีนตัวอย่างอย่างละ 60 μg ในโครงรัม นำไปแยกด้วยวิธี 12% SDS-PAGE และการทำ Western blot กับแอนติบอดีต่อ FmrLGBP ดังแสดงผลในรูปที่ 2 พบร่วมไปกับโปรตีน LGBP เพียงหนึ่งแถบเท่านั้น (รูปที่ 2B แถวที่ 5) ซึ่งเกิดปฏิกิริยา กับแอนติบอดีต่อ FmrLGBP โดยพบร่องรอยในสารสกัดตับเท่านั้น (รูปที่ 2B แถวที่ 4) และไม่พบว่ามีโปรตีนแถบใด ๆ ในอีโมลิฟ (รูปที่ 2B แถวที่ 2) หรือในสารสกัดอีโมไซด์ (รูปที่ 2B แถวที่ 3) ที่เกิดปฏิกิริยา กับแอนติบอดีนี้ บ่งชี้ว่าโปรตีน LGBP พบร่องรอยในตับของกุ้งขาว โดยไม่พบในอีโมลิฟ หรือในสารสกัดอีโมไซด์ ซึ่งสอดคล้องกับการแสดงออกของยีน LGBP ของกุ้งขาวที่มีการแสดงออกมากที่สุดในตับ และไม่พบในเซลล์อีโมไซด์ จากการทำพบร่องรอยในตับของกุ้งขาว ผลที่ได้แตกต่างจากการกระจายตัวของโปรตีนลูกผสม LGBP จากกุ้งขาวจีน (*F. chinensis*) ที่วิเคราะห์ด้วยการทำอิมมูโนพยาธิวิทยา (immunohistochemistry) ซึ่งพบว่ามีการกระจายตัวอยู่มากบนเมมเบรนของเซลล์อีโมไซด์ (Du et al., 2006) เช่นเดียวกับการศึกษาโปรตีนลูกผสม LGBP ของหอยเซลล์ด้วยวิธี immunofluorescence ที่พบว่ามีการกระจายตัวอยู่มากบนเมมเบรนของอีโมไซด์และยังพบรการกระจายตัวของโปรตีน LGBP ใน mantle และเหงือกด้วย (Yang et al., 2010) อย่างไรก็ตาม มีการศึกษาการกระจายตัวของโปรตีน LGBP ในเนื้อเยื่อของกุ้งในระดับโปรตีนไม่มากนัก

## 2. การทำให้โปรตีน LGBP บริสุทธิ์จากสารสกัดตับ

จากการศึกษาการกระจายตัวของโปรตีน LGBP ในเนื้อเยื่อต่าง ๆ ของกุ้งขาวด้วยวิธี Western blot พบรการกระจายตัวของโปรตีน LGBP ในตับของกุ้งขาว ดังนั้นงานวิจัยนี้จึงเลือกทำบริสุทธิ์โปรตีน LGBP จากสารสกัดตับจากกุ้งขาวโดยมีขั้นตอนต่าง ๆ ดังนี้

### 2.1 การแยกโดยคอลัมน์ Q-Sepharose

จากการนำสารสกัดตับที่เตรียมได้จากวิธีการขั้น 1.3 (ปริมาณโปรตีน 234 มิลลิกรัม) ไปแยกด้วยคอลัมน์แลกเปลี่ยนประจุลบแบบ Q-Sepharose (ปริมาตรเจล 25 มิลลิลิตร) ที่ปรับให้สมดุลก่อนด้วย 50 mM Tris-HCl, pH 7.5 ที่มี 1 mM PMSF ปริมาตร 4 เท่า ของปริมาตรคอลัมน์ จากนั้นล้างคอลัมน์ด้วยบัฟเฟอร์ชนิดเดิม จนมีปริมาณโปรตีนเข้าไกล์ศูนย์ พบร่องรอยอีนที่ไม่จับกับคอลัมน์ถูกล้างออกมาใน 2 พีค (peak) คือพีค Q1 และพีค Q2 (รูปที่ 3) เมื่อวัดโปรตีนที่ระบุออกมา พบร่องรอย Q1 มี

ปริมาณโปรตีน 17.52 มิลลิกรัม และพีค Q2 มีโปรตีน 4.04 มิลลิกรัม ซึ่งคิดเป็น 7.5% และ 1.7% ของ โปรตีนรวมในสารสกัดตับเริ่มต้น ตามลำดับ (ตารางที่ 1) และเมื่อใช้คลอลัมน์ต่อด้วย 0.5 M NaCl ใน 50 mM Tris-HCl, pH 7.5 ที่มี 1 mM PMSF พบรอตีนถูกชะออกมา 1 พีค คือ พีค Q3 (รูปที่ 3) มี ปริมาณโปรตีน 81.70 มิลลิกรัม คิดเป็น 34.9% ของโปรตีนรวมในสารสกัดตับเริ่มต้น ซึ่งพบว่าพีค Q3 มี ปริมาณโปรตีนสูงกว่าพีค Q1 และพีค Q2 และเมื่อใช้คลอลัมน์ต่อด้วย 1 M NaCl ในบัฟเฟอร์ชนิดเดิม พบร่วมกับโปรตีนถูกชะออกมาก แสดงว่าโปรตีนของสารสกัดตับมีส่วนน้อยที่ไม่จับกับคลอลัมน์ Q-Sepharose แต่โปรตีนส่วนมากจับคลอลัมน์ และถูกชะออกได้เกือบหมดด้วย 0.5 M NaCl

เมื่อรวมสารละลายโปรตีนของพีค Q1, พีค Q2 และพีค Q3 ที่แยกได้จากคลอลัมน์ Q-Sepharose ไปทำให้เข้มข้น แล้วได้อลูชันเพื่อกำจัดเกลือออกไป จากนั้นวิเคราะห์ความบริสุทธิ์ด้วย วิธี SDS-PAGE และติดตามโปรตีน LGBP ด้วยวิธี Western blot กับแอนติบอดีต่อ FmrLGBP พบร่วม สารละลายโปรตีนพีค Q1 และพีค Q2 ไม่เกิดปฏิกิริยา กับแอนติบอดี (ไม่ได้แสดงผลไว้) มีเฉพาะ สารละลายโปรตีนในพีค Q3 เท่านั้นที่เกิดปฏิกิริยา กับแอนติบอดีต่อ FmrLGBP (รูปที่ 4B และที่ 4) และ เมื่อวิเคราะห์แบบแ芬น์โปรตีนของสารละลายพีค Q3 (รูปที่ 4A และที่ 4) ในแ芬น์เจลที่ย้อมด้วยสีคราม บดูพบว่าແบบโปรตีน LGBP ติดสีย้อมเข้มมากกว่าในสารสกัดตับที่ไม่ได้ผ่านการแยกด้วยคลอลัมน์ Q-Sepharose (รูปที่ 4A และที่ 3) แต่ยังมีโปรตีนหล่ายແບบเป็นปีกอยู่ในสารละลายพีค Q3 จาก ผลการทดลองนี้แสดงให้เห็นว่าในขั้นตอนการทำบริสุทธิ์โปรตีน LGBP ด้วยคลอลัมน์ Q-Sepharose คลอลัมน์นี้จับกับโปรตีน LGBP และสามารถกำจัดโปรตีนอื่น ๆ ออกໄไปได้บางส่วน (โปรตีนในพีค Q1 และ พีค Q2) รวมทั้งโปรตีนที่มีมวลโมเลกุลใกล้เคียงกับโปรตีน LGBP เพราะແบบโปรตีนที่อยู่ใกล้เคียง กับແบบโปรตีน LGBP มีความเข้มหรือมีปริมาณโปรตีนลดลง (รูปที่ 4A และที่ 4 เทียบกับແวที่ 3) นอกจากนี้ยังพบว่าโปรตีน LGBP ในสารสกัดตับของกุ้งขาวจับได้กับคลอลัมน์ Q-Sepharose (พีค Q3) จึงทำให้ແบบโปรตีน LGBP เข้มขึ้นมากกว่าในสารสกัดตับที่แยกใน 12% SDS-PAGE ด้วยปริมาณโปรตีน ที่เท่ากัน (รูปที่ 4A และที่ 4 เทียบกับແวที่ 3) จึงสรุปได้ว่าคลอลัมน์ Q-Sepharose เป็นขั้นตอนแรกที่

Table 1 Purification of LGBP from the hepatopancreas extract

Preparation	Protein	
	Milligram	%
Hepatopancaees extract	234	100
Q-Sepharose column peak Q1	17.52	7.5
peak Q2	4.04	1.7
peak Q3	81.70	34.9
Preparative PAGE elutate	1.82	0.77

เหมาะสมในการแยกโปรตีน LGBP จากสารสกัดตับของกุ้งขาว เพราะเมื่อโปรตีนที่อยู่ข้างเคียงกับแอนติบอดี้ LGBP ถูกกำจัดออกไปด้วยคอลัมน์นี้ ทำให้ง่ายต่อการทำบริสุทธิ์โปรตีน LGBP ด้วยวิธี Preparative PAGE ต่อไป

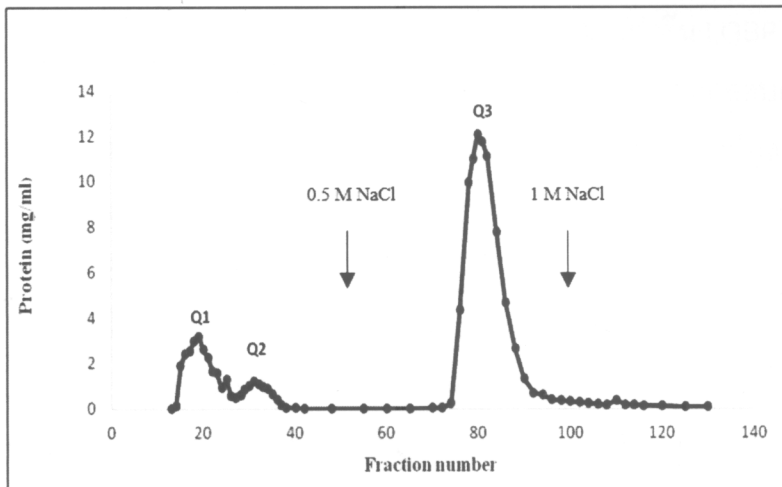


Fig.3 Purification of LGBP from the hepatopancreas extract by Q-Sepharose column. The hepatopancreas extract (234 mg) was loaded onto Q-Sepharose column (25 ml). After washing by 50 mM Tris-HCl, pH 7.5 - 1 mM PMSF for 40 ml, fractions (0.8 ml) were collected with a flow rate of 0.5 ml/min. The column was subsequently eluted with 0.5 M NaCl (40 ml) and 1 M NaCl (20 ml) in the same buffer, respectively.

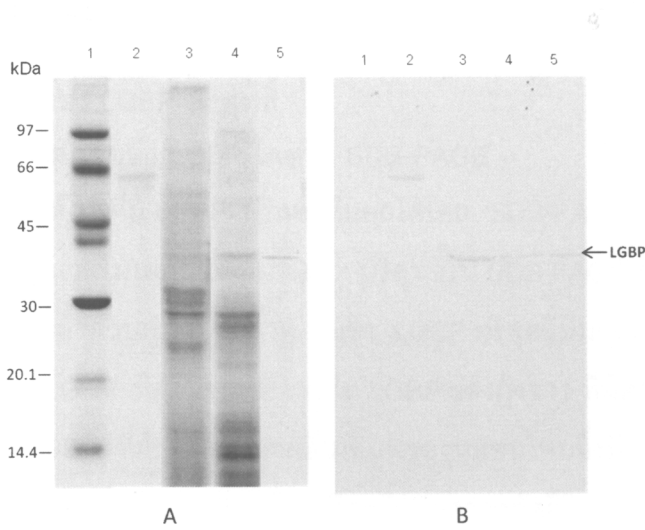


Fig. 4 Protein patterns at each purification step analyzed by 12% SDS-PAGE and Western blotting. The gel was stained with Coomassie blue (A) and LGBP was detected with anti-FmrLGBP antibody (B). Lane 1, molecular weight markers; lane 2, FmrLGBP; lane 3, hepatopancreas extract; lane 4, peak Q3 from Q-Sepharose column and lane 5, purified LGBG from Preparative PAGE.

## 2.2 โดยการทำ Preparative PAGE

จากการนำสารละลายไปตีนเข้มข้นของพีค Q3 จากคอลัมน์ Q-Sepharose ไปแยกต่อโดย Preparative PAGE โดยเลือกสารละลายพีค Q3 เพียงบาง fraction ที่ปราศจากโปรตีน LGBP อย่างชัดเจนและมีແບນโปรตีนอื่นที่อยู่ข้างเคียงเพียงเล็กน้อย ทำโดยตัดเจลเฉพาะตำแหน่งແບນโปรตีนของ LGBP เพียงແບນเดียว จากนั้นจะโปรตีนออกจากเนื้อเจล พบว่าแยกโปรตีน LGBP ได้ 1.82 มิลลิกรัม คิดเป็น 0.77 % ของโปรตีนรวมของสารสกัดตับเริ่มต้น (ตารางที่ 1) เมื่อทดสอบความบริสุทธิ์โดยวิธี SDS-PAGE และ Western blot ปราศจากโปรตีนเพียงແບນเดียวที่ย้อมติดสีคุมาซีนูล (รูปที่ 4A ถวายที่ 5) และเกิดปฏิกิริยากับแอนติบอดีต่อ FmrLGBP (รูปที่ 4B ถวายที่ 5) บ่งชี้ว่าการทำ Preparative PAGE สามารถแยกโปรตีน LGBP ได้บริสุทธิ์

งานวิจัยนี้ได้ทำการทำบริสุทธิ์โปรตีน LGBP จากสารสกัดตับของกุ้งขาว โดยใช้สองขั้นตอนคือ คอลัมน์ Q-Sepharose และการทำ Preparative PAGE แม้จะแยกโปรตีน LGBP บริสุทธิ์ได้บริมานน้อย แต่เป็นการทำบริสุทธิ์ที่ไม่ต้องผ่านหลายขั้นตอน คล้ายกับการทำบริสุทธิ์โปรตีน BGBP จากไข่มิลินฟ้ากุ้ง *Farfantepenaeus paulensis* และ *Litopenaeus schmitti* โดยคอลัมน์แลกเปลี่ยนประจุลบเพียงขั้นตอนเดียว (Goncalves et al., 2012) หรือการทำบริสุทธิ์ LGBP จากไข่มิลินฟ้าของหนอนไหม (*Bombyx mori*) โดยอาศัยการจับระหว่างโปรตีนในไข่มิลินฟ้ากับผิวเซลล์แบคทีเรียชนิด *Enterobacter cloacae* ซึ่งแยกได้ LGBP ที่มีมวลโมเลกุล 50 kDa (Lee et al., 1996) แต่การทำบริสุทธิ์ LGBP จากไข่มิลินฟ้าของกุ้งนางต้องแยกโดย 3 คอลัมน์ คือคอลัมน์ Blue-Sepharose ตามด้วยคอลัมน์ Phenyl-Sepharose และคอลัมน์ Sephadryl S-200 ตามลำดับ จึงจะแยกได้โปรตีน LGBP บริสุทธิ์ที่มีมวลโมเลกุล 40 kDa (Lee et al., 2000)

## 3. การศึกษาคุณสมบัติของ LGBP บริสุทธิ์

### 3.1 การหามวลโมเลกุลของ LGBP โดยวิธี SDS-PAGE

จากการวิเคราะห์โปรตีน LGBP บริสุทธิ์ที่แยกได้โดย SDS-PAGE ปราศจากโปรตีนเพียงແບນเดียว ซึ่งเมื่อคำนวนมวลโมเลกุลของ LGBP บริสุทธิ์ใน SDS-PAGE จากกราฟมาตรฐานของโปรตีนมาตรฐาน 6 ชนิด ที่ทำควบคู่กัน (รูปที่ 5) พบว่า LGBP บริสุทธิ์มีมวลโมเลกุล 40.73 kDa ซึ่งมีขนาดใกล้เคียงกับโปรตีน LGBP ที่คำนวนได้จากยืนยัน LGBP ของกุ้งขาว ที่มีค่าเป็น 41.6 kDa รวมทั้งใกล้เคียงกับของโปรตีน LGBP ที่ทำบริสุทธิ์จากสารสกัดไข่มิลินฟ้าของหนอนไหมซึ่งมีมวลโมเลกุลเป็น 50 kDa (Lee et al., 1996) และของโปรตีน LGBP ที่ทำบริสุทธิ์จากสารสกัดไข่มิลินฟ้าของกุ้งนาง ที่มีขนาด 36 kDa และ 40 kDa ในสภาวะไม่รีดิวช์และรีดิวช์ ตามลำดับ และพบว่าโปรตีน LGBP ของกุ้งนาง ประกอบด้วยสายโพลีเปปไทด์เพียงชนิดเดียว (Lee et al., 2000) งานวิจัยนี้จึงหามวลโมเลกุลของโปรตีน LGBP บริสุทธิ์ของกุ้งขาวด้วยวิธี SDS-PAGE เท่านั้น ประกอบกับรายงานงานวิจัยต่าง ๆ บ่งชี้ว่า โปรตีน LGBP ของกุ้งประกอบด้วยสายโพลีเปปไทด์เพียงสายเดียว ไม่มีหน่วยย่อย (subunit)

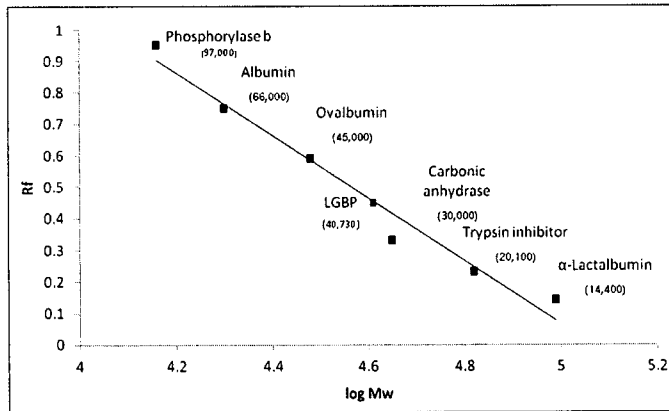


Fig. 5 Standard graph for  $M_r$  determination of purified LGBP by 12% SDS-PAGE.

รายงานการทำบริสุทธิ์โปรตีน LGBP มีไม่มากนัก ส่วนใหญ่จะเป็นการศึกษาการโดยนิยม LGBP และการผลิตโปรตีนลูกผสม โดยสัตว์ในกลุ่มครัสเตเชียนมีรายงานว่าโปรตีน LGBP มีมวลโมเลกุลอยู่ในช่วง 40 - 50 kDa เช่น มวลโมเลกุลของโปรตีน LGBP ที่เปลี่มานจากยืน LGBP ของปูก้ามชนหรือปูเชียงไี้ (Chinese mitten crab, *Eriocheir sinensis*) มีค่าเป็น 39.89 kDa (Zhao et al., 2009) ของกุ้ง *L. stylirostris* มีค่าเป็น 44 kDa (Roux et al., 2002) ของกุ้งขาวมีค่าเป็น 39.92 kDa (Cheng et al., 2005) ของกุ้งลายเสือ (Kuruma prawn, *Marsupenaeus japonicus*) มีค่าเป็น 40.15 kDa (Lin et al., 2008) ของกุ้งก้ามgram (*Macrobrachium rosenbergii*) มีค่าเป็น 41.2 kDa (Yeh et al., 2009) ของกุ้งแซบบวย มีค่าเป็น 41.6 kDa (Rattanaporn, 2010) และโปรตีนลูกผสม LGBP ของกุ้งแซบบวยมีมวลโมเลกุล 40 kDa (อารีรัตน์ เขาร์สมบูรณ์ และคณะ, 2556) ในขณะที่ โปรตีนลูกผสม LGBP ของกุ้งขาวจีนมีมวลโมเลกุล 46 kDa (Du et al., 2007) และของกุ้งกุลาดำมีมวลโมเลกุล 40 kDa (Amparyup et al., 2012)

### 3.2 การทดสอบการกระตุนแอกทิวิทีของเอนไซม์ฟินอลออกซิเดสโดย LGBP

เนื่องจากการศึกษาเบื้องต้นพบว่าสารสกัดเยื่อไชโยมีแอกทิวิทีของเอนไซม์ฟินอลออกซิเดส และจากรายงานของ Amparyup และคณะ (2012) พบว่าโปรตีนลูกผสมของ LGBP สามารถกระตุนแอกทิวิทีของเอนไซม์นี้ในสารสกัดเยื่อไชโยที่ของกุ้งกุลาดำได้ งานวิจัยนี้จึงได้ทดสอบผลของ LGBP บริสุทธิ์โดยการวัดแอกทิวิทีของเอนไซม์ฟินอลออกซิเดสในสารสกัดเยื่อไชโยปริมาณโปรตีน 100 ไมโครกรัม ในสภาวะที่ไม่บ่มและผ่านการบ่มกับ LGBP บริสุทธิ์ บริมาน 2 ไมโครกรัม พบว่าแอกทิวิทีของเอนไซม์ฟินอลออกซิเดสในสารสกัดเยื่อไชโยที่มีการบ่มกับ LGBP บริสุทธิ์ มีค่าเพิ่มขึ้น 190% เมื่อเทียบกับแอกทิวิทีของเอนไซม์ที่ไม่ได้บ่มกับ LGBP บริสุทธิ์ (100%) บ่งชี้ว่าโปรตีน LGBP บริสุทธิ์ของกุ้งขาวสามารถกระตุนแอกทิวิทีของเอนไซม์ที่ไม่ได้บ่มกับ LGBP บริสุทธิ์ (100%) บ่งชี้ว่าโปรตีน LGBP บริสุทธิ์ของกุ้งขาวสามารถกระตุนแอกทิวิทีของเอนไซม์ที่ไม่ได้บ่มกับ LGBP บริสุทธิ์ได้ และกระตุนได้ดีกว่าโปรตีนลูกผสม LGBP ของกุ้งกุลาดำที่สามารถกระตุนแอกทิวิทีของเอนไซม์นี้ได้ 104% เมื่อใช้สารสกัด

ไฮโมไซค์ ปริมาณโปรตีน 250 ไมโครกรัม ปั่มน้ำกับโปรตีนลูกลพสม LGBP บริมาณ 160 ไมโครกรัม (Amparyup et al., 2012)

นอกจากนี้ จากที่มีรายงานว่าเบตา-1,3-กลูแคน ลิโพโพลีแซคคาไรด์ (LPS) หรือ lipoteichoic acid (LTA) ซึ่งเป็นโพลีแซคคาไรด์บนผนังเซลล์ของจุลินทรีย์ สามารถกระตุ้นแอกทิวิตี้ของเอนไซม์ฟีนอลออกซิเดสได้ (Söderhäll, 1982; Söderhäll and Cerenius, 1998) งานวิจัยนี้จึงได้ปั่มน้ำสารสกัดไฮโมไซค์ของกุ้งขาว ปริมาณโปรตีน 100 ไมโครกรัม กับ LPS, LTA หรือ laminarin (เบตา-1,3-กลูแคน) อย่างละ 5 ไมโครกรัม พบร่วมกับ LPS กระตุ้นแอกทิวิตี้ของเอนไซม์ฟีนอลออกซิเดสได้ โดยมีค่าเพิ่มขึ้นเป็น 530% ส่วน LTA และ laminarin สามารถกระตุ้นแอกทิวิตี้ของเอนไซม์ เพิ่มขึ้นเป็น 190 และ 160% ตามลำดับ

ในทำนองเดียวกัน เมื่อวัดแอกทิวิตี้ของเอนไซม์ฟีนอลออกซิเดสของสารสกัดไฮโมไซค์ของกุ้งขาว (ปริมาณโปรตีน 100 ไมโครกรัม) ในสภาวะที่มีโปรตีน LGBP บริสุทธิ์ (2 ไมโครกรัม) และมี LPS, LTA หรือ laminarin อย่างละ 5 ไมโครกรัม พบร่วมกับ LPS สามารถกระตุ้นแอกทิวิตี้ของเอนไซม์ได้ โดยเพิ่มมากขึ้นเป็น 1,280% ส่วน LTA และ laminarin สามารถกระตุ้นแอกทิวิตี้ของเอนไซม์ฟีนอลออกซิเดสได้ เพิ่มขึ้นเป็น 240 และ 195% ตามลำดับ บ่งชี้ว่า LPS ซึ่งเป็นลิโพโพลีแซคคาไรด์บนผนังเซลล์ของแบคทีเรียแกรมลบซึ่งมักเป็นเชื้อภัยโรคในกุ้ง สามารถจับกับโปรตีน LGBP ได้มากกว่า LTA ซึ่งเป็นโพลีแซคคาไรด์บนผนังเซลล์ของแบคทีเรียแกรมบวก หรือกับเบตา-1,3-กลูแคนที่พบมากบนผนังเซลล์ของยีสต์ แล้วไปกระตุ้นเอนไซม์ฟีนอลออกซิเดสให้ active ขึ้น จึงพบแอกทิวิตี้ของเอนไซม์ฟีนอลออกซิเดสในสภาวะที่มี LPS อยู่ด้วยเพิ่มขึ้น และเพิ่มมากกว่าการมี LTA หรือเบตา-1,3-กลูแคน เนื่องจากโปรตีน LGBP บริสุทธิ์ของกุ้งขาวสามารถกระตุ้นแอกทิวิตี้ของเอนไซม์ฟีนอลออกซิเดสในสารสกัดไฮโมไซค์ และกระตุ้นได้มากขึ้นในสภาวะที่มี LPS ซึ่งดีกว่าสภาวะที่มีเบตา-1,3-กลูแคน หรือ LTA เป็นไปได้ว่าเมื่อมีการบุกรุกของเชื้อภัยโรคแบคทีเรียแกรมลบ โปรตีน LGBP ไปจับกับ LPS ซึ่งเป็นโพลีแซคคาไรด์บนผนังเซลล์ของแบคทีเรียแกรมลบ แล้วไปจับกับตัวรับบนเเมมเบรนของเซลล์ไฮโมไซค์เพื่อเกิดการสลายกรานูลให้หลังโปรตีนฟีนอลออกซิเดสและเอนไซม์ protease ออกมานะ เพื่อเปลี่ยนโปรตีนฟีนอลออกซิเดสไปเป็นเอนไซม์ฟีนอลออกซิเดสที่ active จึงวัดระดับแอกทิวิตี้ของเอนไซม์ฟีนอลออกซิเดสเพิ่มสูงขึ้นได้ จากนั้น เเอนไซม์ฟีนอลออกซิเดสที่ active จึงวัดระดับแอกทิวิตี้ของเอนไซม์ฟีนอลออกซิเดสเพิ่มสูงขึ้นได้ จากนั้น เเอนไซม์ฟีนอลออกซิเดสไปสังเคราะห์เมลานินเพื่อกำจัดจุลินทรีย์บุกรุกต่อไป (Aspan and Söderhäll, 1991; Aspan et al., 1995; Söderhäll, 1982; Söderhäll and Ajaxon, 1982; Söderhäll and Cerenius, 1998) ส่วนการที่ LTA ซึ่งเป็นโพลีแซคคาไรด์บนผนังเซลล์ของแบคทีเรียแกรมบวก หรือเบตา-1,3-กลูแคนที่พบมากบนผนังเซลล์ของยีสต์ มีส่วนช่วยโปรตีน LGBP บริสุทธิ์กระตุ้นแอกทิวิตี้ของเอนไซม์ฟีนอลออกซิเดสในสารสกัดไฮโมไซค์ให้ได้น้อยกว่า LPS มาก อาจเป็นเพราะยีสต์และแบคทีเรียแกรมบวกไม่ได้เป็นเชื้อภัยโรคโดยตรงในกุ้งขาว จึงส่งผลต่อการตอบสนองต่อเชื้อบุกรุกได้น้อยกว่า นอกจากนี้มีรายงานการศึกษาการจับของโปรตีนลูกลพสม LGBP จากกุ้งขาวจีนกับจุลินทรีย์ พบร่วมกับโปรตีนลูกลพสมนี้สามารถจับกับจุลินทรีย์ได้หลายชนิด และจับกับแบคทีเรียแกรมลบได้ที่สุด และจับกับ

แบคทีเรียแกรมบวกและยีสต์ได้เล็กน้อยหรือไม่มีการจับ洌ย (Du et al., 2006) อย่างไรก็ตามงานผลงานวิจัยนี้สามารถแสดงให้เห็นว่า LGBP เป็น PRP ชนิดหนึ่งที่มีบทบาทสำคัญในการป้องกันตนเองตอบสนองต่อเชื้อగ่อโรคที่บุกรุก

ดังได้กล่าวแล้วข้างต้นว่าผลงานวิจัยนี้ยังไม่ได้เตรียมต้นฉบับเพื่อตีพิมพ์เผยแพร่ จึงขอไม่ระบุรายละเอียดของผลงานวิจัยในลักษณะรูปหรือตาราง รวมทั้งลำดับนิวคลีโอไทด์ของยีนที่โคลนได้ไว้ในรายงานฉบับสมบูรณ์นี้

#### 4. การทดสอบการเกาะกลุ่มแบคทีเรียโดยโปรตีน LGBP บริสุทธิ์

จากการทดสอบผลของโปรตีน LGBP บริสุทธิ์ในการระดับการเกาะกลุ่มแบคทีเรีย *V. parahaemolyticus* โดยเปรียบเทียบในสภาวะที่มีและไม่มี  $\text{Ca}^{2+}$  และใช้โปรตีน BSA แทนโปรตีน LGBP บริสุทธิ์เพื่อใช้เป็นมาตรฐาน พนว่าโปรตีน LGBP บริสุทธิ์สามารถเหนี่ยวนำให้ *V. parahaemolyticus* เกิดการเกาะกลุ่มได้อย่างสมบูรณ์ด้วยค่าความเข้มข้นที่น้อยสุดคือ  $12.5 \mu\text{g/ml}$  ในสภาวะมี  $\text{Ca}^{2+}$  (รูปที่ 6B) ไม่พบการเกาะกลุ่มของแบคทีเรียในสภาวะที่ไม่มี  $\text{Ca}^{2+}$  (รูปที่ 6C) บ่งชี้ว่าการเหนี่ยวนำให้เกิดการเกาะกลุ่มของแบคทีเรียโดยโปรตีน LGBP บริสุทธิ์ต้องการ  $\text{Ca}^{2+}$  ซึ่งยืนยันได้จากการทดสอบในสภาวะที่มี  $10 \text{ mM EDTA}$  พนว่าไม่มีการเกาะกลุ่มของแบคทีเรีย *V. parahaemolyticus* เกิดขึ้นเช่นกัน (รูปที่ 6F) เนื่องจาก EDTA มีคุณสมบัติเป็น chelating agent สามารถจับกับ  $\text{Ca}^{2+}$  ได้ทำให้ไม่มี  $\text{Ca}^{2+}$  อิสระเหลืออยู่ จึงทำให้ยืนยันได้ว่าการเหนี่ยวนำให้เกิดการเกาะกลุ่มแบคทีเรียของโปรตีน LGBP บริสุทธิ์ต้องการ  $\text{Ca}^{2+}$  เป็นตัวช่วยในการเกิดปฏิกิริยา

*V. parahaemolyticus* เป็นแบคทีเรียแกรมลบจัดอยู่ในสกุล *Vibrio* ซึ่งปัจจุบันมีรายงานว่าเป็นสาเหตุหลักที่ทำให้เกิดการระบาดของโรคด้วยด่วนในกุ้งขาว โดยแบคทีเรีย *V. parahaemolyticus* มี LPS เป็นองค์ประกอบหลักบนผนังเซลล์ จึงทำให้โปรตีน LGBP ซึ่งเป็น PRP จดจำและจับจำเพาะกับ LPS บนผนังเซลล์กุ้งขาว (Kim et al., 2000) จึงเหนี่ยวนำให้ *V. parahaemolyticus* เกิดการเกาะกลุ่มได้ จึงจัดได้ว่า LGBP มีคุณสมบัติเป็น lectin ชนิดหนึ่ง และงานวิจัยนี้พบว่าการเกาะกลุ่มแบคทีเรียเกิดได้ในสภาวะที่มี  $\text{Ca}^{2+}$  เมื่อว่าการศึกษาคุณสมบัติของยีน LGBP ยังไม่มีการรายงาน ตำแหน่งที่จับจำเพาะกับ  $\text{Ca}^{2+}$  (calcium binding site) แต่เป็นไปได้ว่า  $\text{Ca}^{2+}$  จะช่วยโปรตีน LGBP ในเกาะกลุ่มแบคทีเรีย เช่นเดียวกับกับโปรตีนลูกผสมของ lectin แบบ C (C-type lectin) ที่มีโดเมนจัดจำかる์บอไฮเดรต (carbohydrate recognition domain) 2 ตำแหน่ง เช่น lectin FcLec2 ของกุ้งขาวจีนที่สามารถจับ (bind) กับแบคทีเรียได้โดยไม่ต้องอาศัย  $\text{Ca}^{2+}$  แต่ต้องการ  $\text{Ca}^{2+}$  เป็นตัวช่วยทำให้แบคทีเรียเกิดการเกาะกลุ่ม ส่วนกลไกการเกิดเป็นเช่นไรยังไม่เป็นที่ทราบแน่ชัด (Zhang et al., 2009) เช่นเดียวกับ lectin แบบ C จากกุ้งในสกุลพิเนียส เช่น กุ้ง *P. monodon*, *P. stylirostris*, *P. californiensis* และ *Parapenaeus longirostris* ที่ต้องการ  $\text{Ca}^{2+}$  ในการเกาะกลุ่มกุ้งขาว (Rittidach et al., 2007)

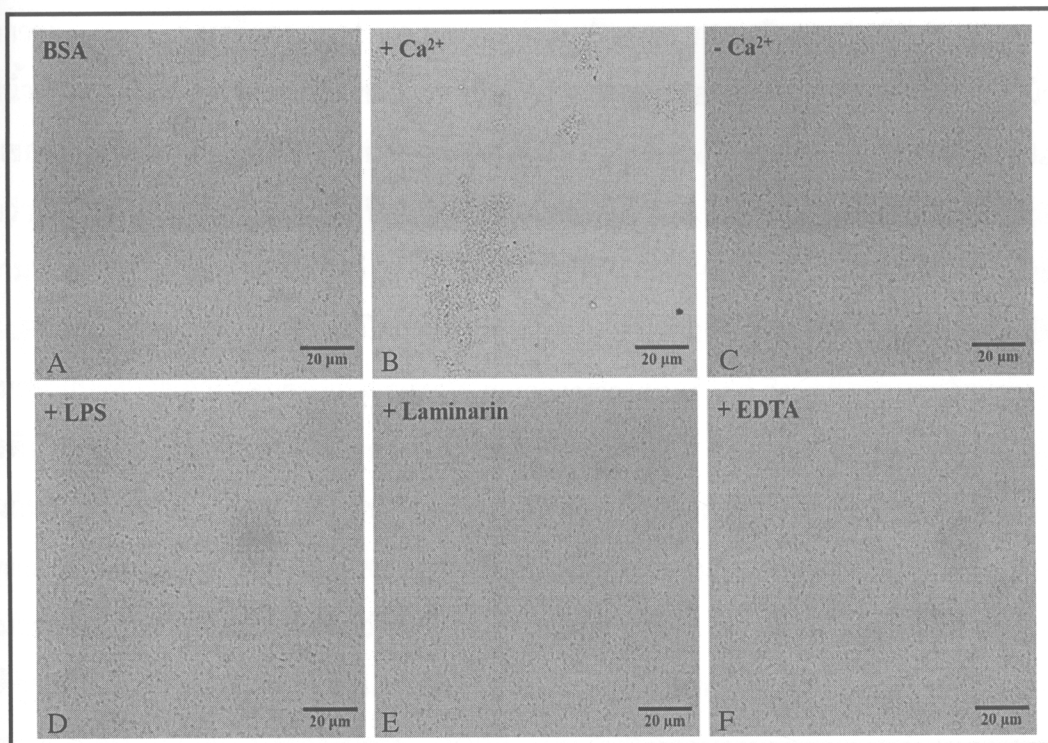


Fig. 6 Agglutination of *V. parahaemolyticus* induced by purified LGBP. Bacteria were agglutinated by 12.5 µg/ml purified LGBP in the presence of various contidions as follows: A, BSA was used instead of purified LGBP; B, with 10 mM CaCl<sub>2</sub>; C, with out 10 mM CaCl<sub>2</sub>; D, with 1.25 mg/ml LPS and 10 mM CaCl<sub>2</sub>; E, with 2.5 mg/ml laminarin and 10 mM CaCl<sub>2</sub> and F, with 10 mM EDTA.

นอกจากรายงานการเกาะกลุ่มแบคทีเรียของโปรตีนลูกผสม LGBP จากหอยเชลล์ ที่ความเข้มข้น 40 µg/ml สามารถทำให้ยีสต์ *Pichia pastoris* และ แบคทีเรียแกรมบวก *Bacillus subtilis* เกิดการเกาะกลุ่มได้ (Yang et al., 2010) เนื่องจากยีสต์มีเบตา-1,3-กลูแคนเป็นองค์ประกอบหลักบนผนังเซลล์จึงทำให้โปรตีน LGBP สามารถจับจำเพาะกับเบตา-1,3-กลูแคนของยีสต์และเห็นยวน้ำให้เกิดการเกาะกลุ่มได้ สำหรับแบคทีเรียแกรมบวก *B. subtilis* ก็มี LPS อยู่บ้างบนองค์ประกอบของผนังเซลล์ ดังนั้นจึงสามารถเห็นยวน้ำให้เกิดการเกาะกลุ่มในแบคทีเรียแกรมบวกได้ เช่นกัน โดยผลที่ได้คล้ายกับการทดสอบการเกาะกลุ่มแบคทีเรียของโปรตีนลูกผสม BGBP ในหนอนใบยาสูบ (*Manduca sexta*) ซึ่งเป็น PRP ชนิดหนึ่งที่จดจำและจับจำเพาะกับเบตา-1,3-กลูแคนบนผนังเซลล์จุลินทรีย์แต่สามารถเห็นยวน้ำให้เกิดการเกาะกลุ่มได้ทั้งในแบคทีเรีย *Staphylococcus aureus* ที่เป็นแบคทีเรียแกรมบวก *E. coli* ที่เป็นแบคทีเรียแกรมลบ และยีสต์ *Saccharomyces cerevisiae* (Ma and Kanost, 2000)

จากการทดสอบใช้โปรตีน BSA แทนโปรตีน LGBP บริสุทธิ์ ที่ความเข้มข้นเดียวกัน พบว่า ไม่มีการเกาะกลุ่มของ *V. parahaemolyticus* เกิดขึ้น (รูปที่ 6A) ในขณะที่ โปรตีน LGBP บริสุทธิ์ที่ความ

เข้มข้นเท่ากันคือ  $12.5 \text{ mg/ml}$  สามารถเห็นยาน้ำให้เกิดการเกาะกลุ่มของ *V. parahaemolyticus* ในสภาวะที่มี  $\text{Ca}^{2+}$  ได้ บ่งชี้ว่าการเกาะกลุ่มของแบคทีเรียเป็นผลจากการจับระหว่างโปรตีน LGBP บริสุทธิ์ กับน้ำตาลบนผิวเซลล์ของแบคทีเรีย เพื่อทดสอบความจำเพาะของการจับระหว่าง LGBP กับน้ำตาลบนผิวเซลล์แบคทีเรีย โดยดูผลการยับยั้งการเกาะกลุ่ม *V. parahaemolyticus* ด้วย LPS และ laminarin พบว่า LPS ยับยั้งการเกาะกลุ่มได้ที่ความเข้มข้นน้อยที่สุด  $1.25 \text{ mg/ml}$  (รูปที่ 6D) และ laminarin ที่ความเข้มข้น  $2.5 \text{ mg/ml}$  (รูปที่ 6E) แสดงให้เห็นว่าโปรตีน LGBP บริสุทธิ์จากกุ้งขาวมีความจำเพาะกับทั้ง LPS และเบตา-1,3-กลูแคน แต่มีความจำเพาะกับ LPS มากกว่า เนื่องจากใช้ความเข้มข้นน้อยกว่าก็สามารถยับยั้งการเกาะกลุ่มของแบคทีเรีย *V. parahaemolyticus* ได้ดี ซึ่งผลที่ได้สอดคล้องกับรายงานที่โปรตีน LGBP บริสุทธิ์ของกุ้งนางสามารถจับจำเพาะกับ LPS ได้ และจับกับเบตา-1,3-กลูแคน ได้ เช่นกัน (Lee et al., 2000) โปรตีนลูกผสม LGBP จากกุ้งกุลาคำสามารถจับจำเพาะได้ทั้ง LPS และ laminarin (Amparyup et al., 2012) คล้ายกับโปรตีนลูกผสมของหอยเซลล์ *Chlamys farreri* ที่สามารถจับจำเพาะกับ LPS ได้ดีกว่าเบตา-1,3-กลูแคน (Siva et al., 2000) ส่วนโปรตีน BGBP บริสุทธิ์ที่ได้จากเม็ดไข่ของกุ้งกุลาคำ สามารถจับเฉพาะกับเบตา-1,3-กลูแคนคือ curdlan และ zymosan แต่ไม่สามารถจับกับ LPS บ่งชี้ว่าโปรตีน BGBP เป็น PRP ที่สามารถจับจำเพาะกับเบตา-1,3-กลูแคนเท่านั้น (Sritunyalucksana et al., 2002) ในขณะที่ โปรตีน LGBP จับจำเพาะได้ทั้ง LPS และเบตา-1,3-กลูแคน ดังนั้น LPS และเบตา-1,3-กลูแคนจึงยับยั้งการเกาะกลุ่มแบคทีเรียที่เห็นได้โดยโปรตีน LGBP ได้ การเกาะกลุ่มของแบคทีเรียถือเป็นกลไกด้านแรกของการกำจัดจุลทรรศน์บุกรุก โดยจะช่วยไม่ให้แบคทีเรียแพร่กระจายในตัวกุ้ง ทำให้เซลล์เม็ดไข่ของกุ้งสามารถกำจัดแบคทีเรียได้เร็วขึ้น บ่งชี้ว่าโปรตีน LGBP บริสุทธิ์จากกุ้งขาวเป็น PRP ที่จับจำเพาะกับ LPS และเบตา-1,3-กลูแคนบនองค์ประกอบของผนังเซลล์จุลทรรศน์ และมีบทบาทสำคัญเกี่ยวกับกลไกการป้องกันตนเองจากเชื้อก่อโรคในกุ้งขาว

## 5. การทดสอบการจับระหว่าง LGBP กับแบคทีเรีย

เพื่อทดสอบการจับ (binding) ของโปรตีน LGBP บริสุทธิ์กับแบคทีเรียก่อโรคกุ้ง นำ LGBP บริสุทธิ์ ปั่มน้ำกับแบคทีเรีย *V. parahaemolyticus* ( $5 \times 10^7$  เซลล์) ในบัฟเฟอร์ TBS ในสภาวะที่มีและไม่มี  $\text{Ca}^{2+}$  จากนั้น centrifuge แยกส่วนใส่คือในโปรตีน LGBP บริสุทธิ์ที่ไม่จับกับเซลล์ (unbound) ออกจากตะกอนเซลล์แบคทีเรีย หลังล้างตะกอนด้วยบัฟเฟอร์ จะโปรตีน LGBP บริสุทธิ์ออกจากตะกอนของเซลล์แบคทีเรียด้วย 7% SDS แล้ววิเคราะห์ผลด้วย SDS-PAGE และ Western blot ต่อแอนติบอดีต่อ FmrLGBP พบว่าในสภาวะที่มี  $\text{Ca}^{2+}$  โปรตีน LGBP บริสุทธิ์จับกับเซลล์ *V. parahaemolyticus* ได้อย่างสมบูรณ์ โดยไม่พบในสภาวะที่ไม่มี  $\text{Ca}^{2+}$  โปรตีน LGBP บริสุทธิ์ในส่วนใส่ก่อนล้างเซลล์ (unbound) (ไม่ได้แสดงผลໄ้) และยืนยันได้จากการจะโปรตีน LGBP ออกจากตะกอนเซลล์ด้วย 7% SDS ที่ปรากฏແฉนของโปรตีน LGBP บริสุทธิ์อย่างชัดเจนในการทำ Western blot (รูปที่ 7 แฉที่ 3) โดยมีความเข้มของแฉนใกล้เคียงกับโปรตีนที่ใช้ในการทดลอง (รูปที่ 7 แฉที่ 2) แต่ในสภาวะที่ไม่มี  $\text{Ca}^{2+}$  พบว่าโปรตีน LGBP บริสุทธิ์ จับกับ

เชลล์ *V. parahaemolyticus* น้อยลงเห็นได้จากแบบโปรตีนที่ถูกชะมีความเข้มจางลง (รูปที่ 7 แฉวที่ 4) ผลการทดลองเหล่านี้บ่งชี้ว่าโปรตีน LGBP บริสุทธิ์สามารถจับกับแบคทีเรีย *V. parahaemolyticus* ได้โดยตรง และเกิดขึ้นในสภาพที่มี  $\text{Ca}^{2+}$  ได้ดีกว่าในสภาพที่ไม่มี  $\text{Ca}^{2+}$  หรือกล่าวได้ว่าโปรตีน LGBP บริสุทธิ์จากกุ้งขาวต้องการ  $\text{Ca}^{2+}$  ช่วยในการจับกับเชลล์แบคทีเรีย สอดคล้องกับการเห็นข่าวนำเสนอให้ *V. parahaemolyticus* เกิดการเกาะกลุ่มที่ต้องการ  $\text{Ca}^{2+}$  ในการทำปฏิกิริยาการจับของโปรตีน LGBP กับแบคทีเรียเกิดขึ้นได้จากการจัดจำและจับจำเพาะกับองค์ประกอบบนผนังเซลล์จุลินทรีย์ นั่นคือ LPS ที่เป็นองค์ประกอบของแบคทีเรียแกรมลบ และเบตา-1,3-กลูแคนที่เป็นองค์ประกอบของผนังเซลล์ยีสต์ ได้ สอดคล้องกับการจับของโปรตีน LGBP บริสุทธิ์จากกุ้งนางที่สามารถจับจำเพาะกับ LPS และเบตา-1,3-กลูแคน และโปรตีนลูกผสม LGBP ของกุ้งกุลาดำและหอยเชลล์กีเซ่นกัน พบว่าสามารถจับจำเพาะได้ทั้ง LPS และ laminarin (Amparyup et al., 2012, Siva et al., 2000) ส่วนโปรตีนลูกผสม LGBP จากกุ้งขาวจีนจับกับแบคทีเรีย *Klebsiella pneumoniae* ซึ่งเป็นแบคทีเรียแกรมลบได้ดีที่สุด และยังสามารถจับกับแบคทีเรีย *Micrococcus luteus* และ *Bacillus megaterium* ซึ่งเป็นแบคทีเรียแกรมบวก และยีสต์ *Pichia pastoris* ได้ด้วย จากรายงานเหล่านี้สรุปได้ว่าโปรตีน LGBP สามารถจับกับจุลินทรีย์ ได้หลายชนิด แต่ความสามารถในการจับขึ้นอยู่กับความจำเพาะกับจุลินทรีย์นั้น ๆ โดยจับกับแบคทีเรีย แกรมลบได้ดีที่สุดและจับกับแบคทีเรียแกรมบวกและยีสต์ได้เล็กน้อย หรือไม่มีการจับเลย (Du et al., 2006)

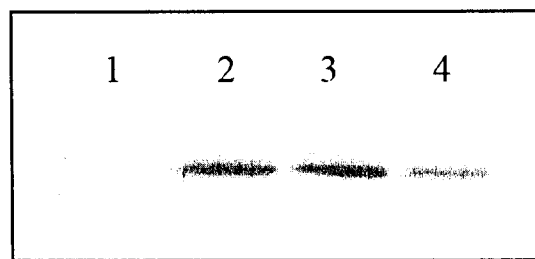


Fig. 7 Binding of *V. parahaemolyticus* to purified LGBP. Binding of bacteria to purified LGBP was analyzed by Western blotting. Lane 1, standard protein markers; lane 2, purified LGBP; lane 3, bound LGBP in the presence of 10 mM  $\text{CaCl}_2$  and lane 4, bound LGBP in the absence of  $\text{CaCl}_2$ .

##### 5. การสร้าง cDNA สายเต็มและศึกษาสมบัติของยีน LGBP

งานวิจัยนี้ได้โคลน cDNA ชิ้นกลางของยีน LGBP ที่มีขนาด 732 คู่เบส และ cDNA ชิ้นปลาย 5' และ 3' ที่มีขนาด 1,079 และ 908 คู่เบส ตามลำดับ จากนั้นนำไปสร้างยีน LGBP สายเต็ม (รูปที่ 8) พบว่ามีขนาด 1,282 คู่เบส ที่ประกอบด้วย 1' 5' untranslated region (UTR, 21 คู่เบส) มี 1 3' UTR (160 คู่เบส) และมี 1 open reading frame (ORF) ยาว 1,101 คู่เบส ซึ่ง encode สายเปปไทด์ที่มีกรดอะมิโน 367 หน่วย และมี 1 signal peptide จากการแปลง cDNA สายเต็มของยีน LGBP ไปเป็น

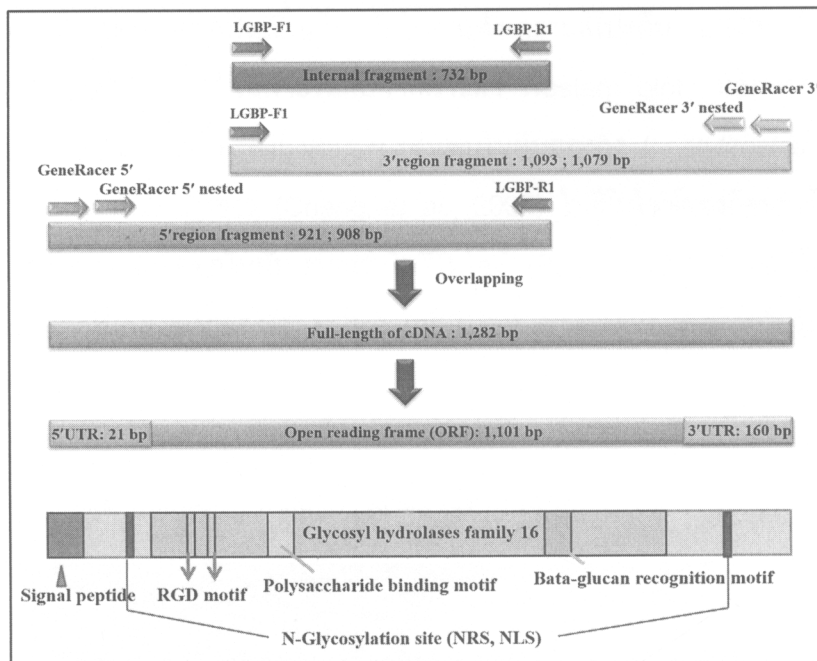


Fig. 8 Cloning strategy and structure of the full-length cDNA of LGBP gene. Internal LGBP cDNA fragment was cloned by using hepatopancreas RNA and one pair of primers, LGBP-F1 and LGBP-R1. 5' and 3' RACE approach was used to clone 5' and 3' cDNA ends. A full-length LGBP cDNA was reconstructed from overlapping of these sequences.

deduced amino acid sequence พบว่า LGBP ของกุ้งขาว มี 2 integrin binding motif (RGD), 1 glycosyl hydrolase domain, 1  $\beta$ -glucan recognition motif, 1 polysaccharide binding motif, 1 protein kinase C phosphorylation site, 2 N-glycosylation site (NRS และ NLS) และไม่มี O-linked glycosylation site (รูปที่ 8) และมีมวลโมเลกุล 41.6 kDa มีขนาดใกล้เคียงกับ LGBP บริสุทธิ์ที่วิเคราะห์โดย SDS-PAGE (40.73 kDa, รูปที่ 5) ยืนยัน LGBP ที่โคลนจากตับของกุ้งขาวมีขนาด และคุณสมบัติคล้ายกับยืนยัน LGBP ที่โคลนจากเนื้อเยื่อต่าง ๆ ของกุ้งชนิดอื่น ๆ ดังเช่น ยืนยัน LGBP ที่โคลนจากตับของกุ้ง *L. stylirostris* (Roux et al., 2002) จากชีโนไซด์ของกุ้งขาว (Cheng et al., 2005) จากชีโนไซด์ของกุ้งลายเสือ (Lin et al., 2008) จากชีโนไซด์ของกุ้งแซบวัย (Rattanaporn, 2010) และยืนยัน LGBP จากกุ้งก้ามgram (Yeh et al., 2009) นอกจากนี้จากการ BLAST ลำดับนิวคลีโอไทด์สายเต็มของยืนยัน LGBP ของกุ้งขาวเปรียบเทียบกับของกุ้งชนิดอื่น ๆ พบว่ายืนยัน LGBP ของกุ้งขาวมีความเหมือน (identity) กับของกุ้งแซบวัยมากที่สุด (95%) รองลงมาตามลำดับคือยืนยัน LGBP ของกุ้ง *L. stylirostris* 94%, กุ้งขาว จีน 93%, กุ้งกุลาดำ 91% และกุ้งลายเสือ 86%

## 6. การแสดงออกของยืนยัน LGBP ในเนื้อเยื่อต่าง ๆ

จากการศึกษาการแสดงออกของยืนยัน LGBP ในเนื้อเยื่อต่าง ๆ ของกุ้งขาวด้วยวิธี RT-PCR โดยใช้ cDNA ชิ้นกลางเป็น probe ที่จำเพาะของยืนยัน LGBP และใช้ 18S rRNA เป็น internal standard พบว่า LGBP mRNA แสดงออกมากสุดในตับ พบร่องลงมาคือในหัวใจและเหงือก โดยไม่พบในเนื้อเยื่ออื่น ๆ

ของกุ้งขาว (รูปที่ 9) บ่งชี้ว่าตับเป็นเนื้อยื่นหลักในการสังเคราะห์โปรตีน LGBP ในกุ้งขาว ซึ่ง สอดคล้องกับการพบโปรตีน LGBP เฉพาะในตับจากการทำ Western blot นอกจากนี้รายงานการแสดงออกของยีน LGBP ในเนื้อยื่นของกุ้งต่าง ๆ เช่นพบริในตับของกุ้ง *L. stylirostris* (Roux et al., 2002) ในตับและ อีโมไซด์ของกุ้งขาว (Cheng et al., 2005) ในอีโมไซด์ของกุ้งขาวจีน (Du et al., 2006) ในกุ้งแพะบ้ายมีการแสดงออกในตับมากกว่าในอีโมไซด์ (*Rattanaporn*, 2010) ในกุ้ง *Fenneropenaeus indicus* มีการแสดงออกของยีน LGBP ในอีโมไซด์ ตับ และพบริเล็กน้อยในหัวใจ (Valli and Vaseeharan, 2012)

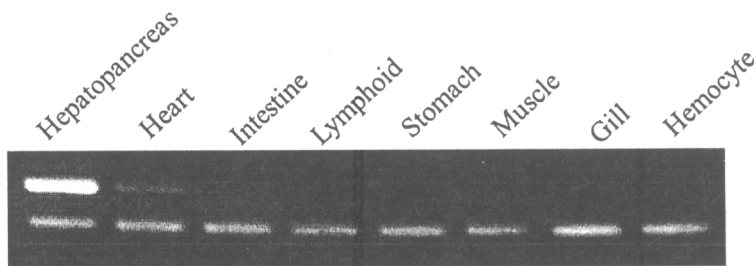


Fig. 9 RT-PCR analysis of the LGBP mRNA expression in different tissues. Total RNA was extracted from various tissues. RT-PCR products were amplified by using the primers that were specific to LGBP gene and 18S rRNA. RT-PCR of 18S rRNA transcript was a control to demonstrate that the same amount of RNA template was used in each sample.

จากรายงานการแสดงออกของยีน LGBP ในกุ้งชนิดต่าง ๆ พบริว่าส่วนใหญ่มีการแสดงออกในตับมากกว่าในเซลล์อีโมไซด์ และเนื่องจากตับเป็นอวัยวะหนึ่งที่สำคัญซึ่งเป็นแหล่งสังเคราะห์และสะสมโปรตีนต่าง ๆ ที่เกี่ยวข้องกับระบบภูมิคุ้มกัน งานวิจัยนี้จึงได้ศึกษาผลการตอบสนองของยีน LGBP ในการบ่มตับกับเชื้อก่อโรค

## 7. การศึกษาผลการบ่มตับกับจุลินทรีย์ก่อโรคต่อการแสดงออกของยีน LGBP

จากการวัดการแสดงออกของยีน LGBP ในวินิจฉัยตับของกุ้งขาวที่บ่มกับบัฟเฟอร์ที่มีหรือไม่มีจุลินทรีย์ ก่อโรคด้วยวิธี RT-PCR เชิงปริมาณ และใช้ยีน 18S rRNA เป็น internal standard เมื่อเทียบกับค่าเริ่มต้นที่ช่วง 0 ก่อนบ่ม พบริว่า LGBP mRNA ของตับกุ้งஆக்குவைகும்ที่บ่มด้วย K-199 มีการแสดงออกไม่แตกต่างกันตลอดช่วงเวลา 0 - 4 ชั่วโมง หลังการบ่ม ในการบ่มตับกับแบคทีเรีย *V. harveyi* พบริว่ายีน LGBP มีการแสดงออกไม่แตกต่างกันอย่างมีนัยสำคัญตลอดช่วงเวลา 0 - 4 ชั่วโมง หลังการบ่ม และไม่ต่างจากஆக்குவைகும் (ไม่ได้แสดงผลวิจัยไว้) บ่งชี้ว่า *V. harveyi* ไม่ได้เป็นเชื้อก่อโรคของกุ้งขาว ในขณะที่เมื่อบ่มชินตับกับแบคทีเรีย *V. parahaemolyticus* พบริการแสดงออกของ LGBP mRNA เพิ่มขึ้นอย่างต่อเนื่องจากช่วง 0.5 ชั่วโมงที่ 0.5 เมื่อเทียบกับช่วง 0 ชั่วโมงที่ 0 ก่อนบ่ม จนมีค่าเพิ่มสูงสุด ณ ช่วง 0.5 ชั่วโมงที่ 2.5 - 3 จากนั้นมีค่าลดลง ณ ช่วง 3.5 และลดมากที่ 4 ชั่วโมงหลังการบ่ม (รูปที่ 10A) จากผลงานวิจัยนี้แสดงให้เห็นว่าการบ่มตับของกุ้งขาวกับ *V. parahaemolyticus* โดยตรง จะกระตุ้นการ

แสดงออกของยีน LGBP ซึ่งตอบสนองต่อการเหนี่ยวนำด้วยเชื้อแบคทีเรีย และ *V. parahaemolyticus* น่าจะเป็นแบคทีเรียก่อโรคของกุ้งขาว ในทำนองเดียวกัน เมื่อบริ่นตับกับไวรัสก่อโรคกุ้ง WSSV พบว่ายีน LGBP ในตับถูกเหนี่ยวนำให้มีการแสดงออกเพิ่มตามลำดับจากชั่วโมงที่ 0 และมีค่าสูงสุดที่ 1 ชั่วโมงหลังการปั่น จากนั้นการแสดงเริ่มลดลงตามเวลา จนถึงชั่วโมงที่ 4 หลังการปั่น (รูปที่ 10B) บ่งชี้ว่า WSSV เป็นไวรัสก่อโรคของกุ้งขาว ซึ่งกระตุ้นให้ยีน LGBP แสดงออกมากขึ้น สอดคล้องกับยีน LGBP ที่ถูก up-regulate ในกุ้ง *P. stylirostris* ที่ถูกจัดตัวโดย WSSV (Roux et al., 2002) นอกจากนี้ มีรายงานการแสดงออกของยีน LGBP ที่เพิ่มขึ้นตอบสนองต่อการจัดตัวด้วยเชื้อก่อโรคหรือองค์ประกอบของผิวเซลล์จุลินทรีย์ในกุ้งชนิดต่าง ๆ มีดังนี้ ในกุ้งขาวต่อแบคทีเรีย *V. alginolyticus* (Cheng et al., 2005) ในกุ้งขาวจีนต่อแบคทีเรีย *S. aureus* และ *Vibrio anguillarum* (Du et al., 2006) ในกุ้งแซบ้าย ต่อแบคทีเรีย *V. harveyi* (Rattanaporn, 2010) ในกุ้งกุลาดำต่อ *V. harveyi* (Amparyup et al., 2012) ล่าสุดยีน LGBP ในหอยมุก *Pinctada fucata* มีการแสดงออกเพิ่มขึ้นเมื่อถูกกระตุ้นด้วย LPS (Zhang et al., 2009) ผลงานวิจัยเหล่านี้บ่งชี้ว่ายีน LGBP มีบทบาทในระบบภูมิคุ้มกันของกุ้งตอบสนองต่อเชื้อก่อโรค

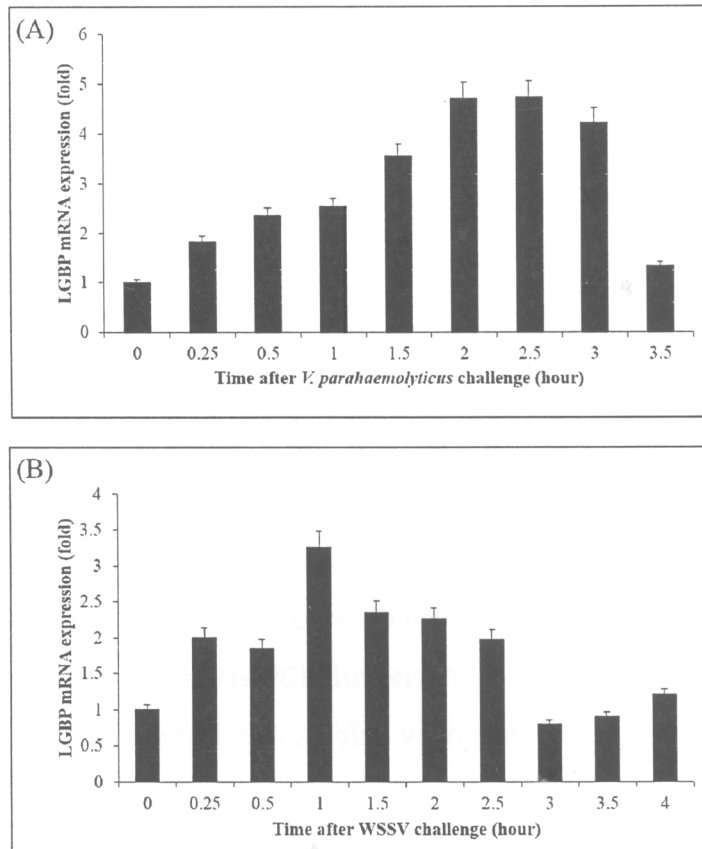


Fig. 10 Expression of LGBP mRNA in the hepatopancreas at different time intervals in response to challenge with *V. parahaemolyticus* or WSSV. Time-course expression of LGBP in the hepatopancreas fragments after incubating with *V. parahaemolyticus* (A) or WSSV (B), was determined by semiquantitative RT-PCR using 18S rRNA as an internal control.

## สรุปผลการวิจัย

งานวิจัยนี้ได้ทำบริสุทธิ์โปรตีน LGBP โคลนและศึกษาคุณสมบัติของยีน LGBP จากตับของกุ้งขาว รวมทั้งศึกษาการแสดงออกของยีน LGBP ตอบสนองต่อเชื้อก่อโรคกุ้ง ซึ่งมีผลสรุปดังนี้

1. โปรตีน LGBP ของกุ้งสามารถเกิดปฏิกิริยาอย่างจำเพาะกับแอนติบอดีต่อโปรตีนลูกผสม FmrLGBP ของกุ้งแซนบิว และการกระจายของโปรตีน LGBP มากเฉพาะในสารสกัดตับของกุ้งขาว โดยไม่พบโปรตีนนี้ในอีโมลิมฟ์และในสารสกัดอี莫ไซด์
2. สามารถทำให้โปรตีน LGBP บริสุทธิ์จากสารสกัดตับของกุ้งขาว ด้วยการแยกด้วย colloidal SDS-PAGE แลกเปลี่ยนประจุลบ Q-Sepharose ตามด้วยการทำ Preparative PAGE ซึ่งแยกได้โปรตีน LGBP บริสุทธิ์มีปริมาณโปรตีนรวม 1.82 มิลลิกรัม คิดเป็น 0.77 % ของโปรตีนรวมของสารสกัดตับเริ่มต้น
3. โปรตีน LGBP บริสุทธิ์ปราศจากเพียงแค่เดียวในการวิเคราะห์ด้วย 12% SDS-PAGE ซึ่งคำนวณมวลโมเลกุลได้เป็น 40.73 kDa
4. โปรตีน LGBP บริสุทธิ์สามารถกระตุ้นแอนติบอดีที่มีต่อเนินไซฟินอลออกซิเดสในสารสกัดอี莫ไซด์เพิ่มเป็น 190% และกระตุ้นแอนติบอดีที่เพิ่มเป็น 240 และ 195% ในสภาวะที่มี LTA และเบตา-1,3-กลูแคน ตามลำดับ นอกจากนี้ยังกระตุ้นแอนติบอดีที่ได้มากสุดเป็น 1,280% ในสภาวะที่มี LPS
5. โปรตีน LGBP บริสุทธิ์ที่ความเข้มข้น 12.5  $\mu\text{g/ml}$  สามารถเหนี่ยวนำให้แบคทีเรีย *Vibrio parahaemolyticus* เกิดการเกาะกลุ่มได้ และต้องการ  $\text{Ca}^{2+}$  ในการเกิดปฏิกิริยา รวมทั้งการเกาะกลุ่มของแบคทีเรียชนิดนี้ถูกยับยั้งได้ด้วย 10 mM EDTA, 1.25 mg/ml LPS หรือ 2.5 mg/ml laminarin
6. โปรตีน LGBP บริสุทธิ์จากกุ้งขาวสามารถจับกับแบคทีเรีย *V. parahaemolyticus* ได้ดีในสภาวะที่มี  $\text{Ca}^{2+}$  มากกว่าในสภาวะที่ไม่มี  $\text{Ca}^{2+}$
7. จากการโคลนยืนยันว่า full-length cDNA ของยีน LGBP ของกุ้งขาว ประกอบด้วย 1,282 คู่เบส ที่มี 1 open reading frame (1,101 คู่เบส) ซึ่ง encode สายเปปไทด์ยาว 367 amino acid มีมวลโมเลกุล 41.6 kDa ยีน LGBP ของกุ้งขาวมีความเหมือนกับของกุ้งแซนบิวมากที่สุด (95%)
8. ยีน LGBP มีการแสดงออกมากสุดในตับ พนันอยกว่าในหัวใจและเหงือก
9. จากการบ่มตับของกุ้งขาวด้วย *V. parahaemolyticus* เมื่อวัดการแสดงออกของ mRNA ของยีน LGBP ด้วยวิธี semiquantitative RT- PCR ในช่วงเวลา 0 - 4 ชั่วโมง พบรการแสดงออกเพิ่มขึ้นตามเวลาตั้งแต่ 0.5 ชั่วโมง และเพิ่มสูงสุดที่ 2.5 - 3 ชั่วโมง หลังการบ่ม จากนั้นมีค่าลดลง
10. จากการบ่มตับของกุ้งขาวด้วย WSSV พบรการแสดงออกของ mRNA ของยีน LGBP เพิ่มขึ้นสูงสุดที่ 1 ชั่วโมง หลังการบ่ม จากนั้นมีค่าลดลง
11. งานวิจัยเหล่านี้บ่งชี้ว่ายังและโปรตีน LGBP ซึ่งเป็น PRP ชนิดหนึ่ง มีบทบาทสำคัญเกี่ยวข้องในระบบภูมิคุ้มกันของกุ้งขาว ซึ่งเป็นกลไกการป้องกันตนเองที่ตอบสนองต่อเชื้อก่อโรคกุ้ง ซึ่งความรุนแรงศึกษาใกล้อย่างละเอียดต่อไป

## เอกสารอ้างอิง

วิไลพร ธรรมรัตน์. 2551. การศึกษาเอนไซม์ฟินอลออกซิเดสในกุ้งแซบวัย. วิทยานิพนธ์ วิทยาศาสตร์ มหาบัณฑิต มหาวิทยาลัยสงขลานครินทร์

อารีรัตน์ เขาว์สมบูรณ์, อรอนิชา รัตนาภรณ์ และประภาพร อุทาրพันธุ์. 2556. การโคลนยืนและสังเคราะห์รีคอมบินเนชันของโปรตีนจับลิโพโพลิแซคคาไรด์และเบตา-1,3-กลูแคนจากกุ้งแซบวัย. การประชุมวิชาการระดับชาติสวนดุสิต: วันนักวิทยาศาสตร์ 2013, มหาวิทยาลัยราชภัฏสวนดุสิต, กรุงเทพฯ, ประเทศไทย.

Amparyup, P., Sutthangkul, J., Charoensaapsri, W. and Tassanakajon, A. 2012. Pattern Recognition Protein Binds to Lipopolysaccharide and  $\beta$ -1,3-Glucan and Activates Shrimp Prophenoloxidase System. *J. Biol. Chem.* 287, 10060-10069.

Aspan, A., Huang, T.S., Cerenius, L. and Söderhäll, K. 1995. cDNA cloning of prophenol-oxidase from the freshwater crayfish *Pacifastacus leniusculus* and its activation. *Proc. Natl. Acad. Sci. U.S.A.* 92, 939-943.

Aspan, A. and Söderhäll, K. 1991. Purification of prophenoloxidase from crayfish blood cells, and its activation by an endogenous serine proteinase. *Insect biochemistry* 21, 363-373.

Auttарат, J., Phiriyangkul, P. and Utarabhand, P. 2006. Characterization of vitellin from the ovaries of the banana shrimp *Litopenaeus merguiensis*. *Comp. Biochem. Physiol.* 143B, 27-236.

Barracco, M.A., Duvic, B. and Söderhäll, K. 1991. Cell Tiss. Res. 266, 491-497.

Bradford, M.M. 1976. A rapid and sensitive method for the quantitation of microgram quantities of protein utilizing the principle of protein-dye binding. *Anal. Biochem.* 72, 248-254.

Cheng, W., Liu, C.H., Tsai, C.H. and Chen, J.C. 2005. Molecular cloning and characterization of a pattern recognition molecules, lipopolysaccharide- and  $\beta$ -1,3-glucan binding protein (LGBP) from the white shrimp *Litopenaeus vannamei*. *Fish Shellfish Immunol.* 18, 297-310.

Davis, B.J. 1964. Disc electrophoresis: II. Method and application to human serum protein.

*Annals of the New York Academy of Sciences* 121, 404-427.

- Du, X.J., Wang, J.X., Liu, N., Zhao, X.F., Li, F.H. and Xiang, J.H. 2006. Identification and molecular characterization of a peritrophin-like protein from Fleshy prawn (*Fenneropenaeus chinensis*). Mol. Immunol. 43, 1633-1644.
- Du, X.-J., Zhao, X.-F. and Wang, J.-X. 2007. Molecular cloning and characterization of a lipopolysaccharide and  $\beta$ -1,3-glucan binding protein (LGBP) from fleshy prawn (*Fenneropenaeus chinensis*). Mol. Immunol. 44, 1085-1094.
- Duvic, B. and Söderhäll, K. 1990. Purification and characterization of  $\beta$ -1,3-glucan binding protein from the plasma of the crayfish *Pacifastacus leniusculus*. J. Biol. Chem. 265, 9332-9337.
- Goncalves, P., Vernal, J., Rosa, R.D., Yepiz-Plascencia, G., De Souza, C.R., Barracco, M.A. and Perazzolo L.M. 2012. Evidence for a novel biological role for the multifunctional  $\beta$ -1,3-glucan binding protein in shrimp. Mol. Immunol. 51, 363-367.
- Johansson, M.W., Lind, M., Holmblad, T., Thornqvist, P.O. and Söderhäll, K., 1995. Peroxinectin, a novel cell adhesion protein from crayfish blood. Biochem. Biophys. Res. Commun. 216, 1079-1087.
- Kim, Y.S., Ryu, J.H., Han, S.J., Choi, K.H., Nam, K.B., Jang, I.H., Lemaitre, B., Brey, P.T. and Lee, W.J. 2000. Gram-negative bacteria-binding protein, a pattern recognition receptor for lipopolysaccharide and  $\beta$ -1,3-glucan protein that mediates the signaling for the induction of innate immune gene in *Drosophila melanogaster* cells. J. Biol. Chem. 275, 32721-32727.
- Laemmli, U.K. 1970. Cleavage of structure protein during assembly of head of bacteriophage T4. Nature 227, 680-685.
- Lee, S.Y., Wang, R. and Söderhäll, K. 2000. A lipopolysaccharide- and  $\beta$ -1,3-glucan-binding protein from hemocytes of the freshwater crayfish *Pacifastacus leniusculus*. Purification, characterization, and cDNA cloning. J. Biol. Chem. 275, 1337-1343.
- Lee, W.J., Lee, J.D., Kravchenko, V.V., Ulevitch, R.J. and Brey, P.T. 1996. Purification and molecular cloning of an inducible Gram-negative bacteria-binding protein from the silkworm, *Bombyx mori*. Immunology 93, 7888-7893.
- Lin, Y.C., Vaseeharan, B. and Chen, L.C. 2008. Identification and phylogenetic analysis on lipopolysaccharide and  $\beta$ -1,3-glucan-binding protein of kuruma shrimp *Marsupenaeus japonicas*. Dev. Comp. Immunol. 32, 1260-1269.

- Ma, C. and Kanost, M.R. 2000. A beta1,3-glucan recognition protein from an insect, *Manduca sexta*, agglutinates microorganisms and activates the phenoloxidase cascade. *J. Biol. Chem.* 11, 7505-7514.
- Medzhitov, R. and Janeway, Jr., C.A. 1997. Innate immunity: the virtues of a non-clonal system of recognition. *Cell* 91, 295.
- Rattanaporn, O. 2010. Molecular cloning and characterization of lectin and lipopolysaccharide and  $\beta$ -1,3-glucan binding protein genes from banana shrimp, *Fenneropenaeus merguiensis*. Ph.D. Thesis in Biochemistry, Prince of Songkla University.
- Rattanaporn, O. and Utarabhand, P. 2011. Molecular cloning of a C-type lectin with two CRD domains from the banana shrimp *Fenneropenaeus merguiensis*: Early gene up-regulation after *Vibrio harveyi* infection. *J. Invertebr. Pathol.* 106, 196-204.
- Rittidach, W., Paijit, N. and Utarabhand, P. 2007. Purification and characterization of a lectin from the banana shrimp *Fenneropenaeus merguiensis* hemolymph. *Biochim. Biophys. Acta* 1770, 106–114
- Roux, M.M., Pain, A., Klimper, K.R. and Dhar, A.Y. 2002. The lipopolysaccharide and  $\beta$ -1,3-glucan binding protein gene is upregulated in white spot virus-infected shrimp (*Penaeus stylostris*). *J. Virol.* 76, 7140-7149.
- Siva, V.S., Yang, C., Yang J., Wang, L., Wang, L., Zhou, Z., Qiu, L. and Song, L. 2012. Association of CfLGBP gene polymorphism with disease susceptibility/resistance of Zhikong scallop (*Chlamys farreri*) to *Listonella anguillarum*. *Fish Shellfish Immunol.* 32, 1117-1123.
- Söderhäll, K. 1982. Prophenoloxidase activating system and melanization: A recognition mechanism of arthropods? *Dev. Comp. Immunol.* 6, 601-611.
- Söderhäll, K. and Ajaxon, R. 1982. Effect of quinones and melanin on mycelial growth of *Aphanomyces* spp. and extracellular protease of *Aphanomyces astaci*, a parasite on crayfish. *J. Invert. Pathol.* 39, 105–109.
- Söderhäll, K. and Cerenius, L. 1992. Crustacean Immunity. *Annu. Rev. of Fish Dis.* 2, 3-23.
- Söderhäll, K. and Cerenius, L. 1998. Role of the prophenoloxidase activating system in invertebrate immunity. *Curr. Opin. Immunol.* 10, 23-28.
- Sritunyalucksana, K., Wongsuebsantati, K., Johansson, M.W. and Söderhäll, K. 2001. Peroxinectin, a cell adhesive protein associated with the ProPO system from the black tiger shrimp, *Penaeus monodon*. *Dev. Comp. Immunol.* 25, 353-356.

- Sritunyalucksana, K., Lee, S.Y. and Söderhäll, K. 2002. A  $\beta$ -1,3-glucan binding protein from black tiger shrimp, *Penaeus monodon*. Dev. Comp. Immunol. 26, 237-245.
- Thornqvist, P.-O., Johansson, M. W. and Söderhäll, K. 1994. Opsonic activity of cell adhesion proteins and  $\beta$ -1,3-glucan binding proteins from two crustaceans. Develop. Comp. Immunol. 18, 3-12.
- Towbin, H., Staehelin, T. and Gordon, J. 1979. Electrophoretic transfer of proteins from polyacrylamide gels to nitrocellulose sheets. Procedure and some applications. Proc. Natl. Acad. Sci. 76, 4350-4354.
- Utarabhand, P., Rittidach, W. and Paijit, N. 2007. Bacterial agglutination by sialic acid-specific lectin in the hemolymph of the banana shrimp, *Penaeus (Fenneropenaeus) merquensis*. Science Asia 33, 41-46.
- Vargas-Albores, F., Jimenez-Vega, F. and Söderhäll, K. 1996. A plasma protein isolated from brown shrimp (*Penaeus californiensis*) which enhances the activation of prophenol-oxidase system by  $\beta$ -1,3-glucan. Dev. Comp. Immunol. 5, 299-306.
- Valli, J.S. and Vaseeharan, B. 2012. cDNA cloning, characterization and expression of lipopolysaccharide and  $\beta$ -1,3-glucan binding protein (LGBP) gene from the Indian white shrimp *Fenneropenaeus indicus*. Comp. Biochem. Physiol. 163A, 74-81.
- Yang, J., Qiu, L., Wang, L., Wei, X., Zhang, H., Zhan, Y., Liu, L. and Song, L. 2010. A pattern recognition receptor in *Chlamys farreri* involved in the immune response against various bacteria. Fish Shellfish Immunol. 29, 825-831.
- Yeh, M.S., Chang, C.C. and Cheng, W. 2009. Molecular cloning and characterization of lipopolysaccharide- and  $\beta$ -1,3-glucan-binding protein from the giant freshwater prawn *Macrobrachium rosenbergii* and its transcription in relation to foreign material injection and the molt stage. Fish Shellfish Immunol. 27, 701-706.
- Zhang, X.-W., Xu, W.-T., Wang, X.-W., Mu, Y., Zhao, X.-F., Yu, X.-Q., Wang, J.-X. 2009. A novel C-type lectin with two CRD domains from Chinese shrimp *Fenneropenaeus chinensis* functions as a pattern recognition protein. Mol. Immunol. 46, 1626-1637.
- Zhao, D., Chen, L., Qin, C., Zhang, H., Wu, P., Li, Erchao., Chen, L. and Qin, J. 2009. Molecular cloning and characterization of the lipopolysaccharide and  $\beta$ -1, 3 glucan binding protein in Chinese mitten crab (*Eriocheir sinensis*). Comp. Biochem. Physiol. 154B, 17-24.